

**МОСКОВСКИЙ ГОСУДАРСТВЕННЫЙ
ТЕХНИЧЕСКИЙ УНИВЕРСИТЕТ
ГРАЖДАНСКОЙ АВИАЦИИ**

Н.Н. Смирнов, Е.Д. Герасимова

**ПОСОБИЕ
по выполнению курсовой работы
по дисциплине
“ОСНОВЫ ТЕОРИИ ЭКСПЛУАТАЦИИ
АВИАЦИОННОЙ ТЕХНИКИ”
*для студентов IV курса
специальности 130300
заочного обучения***

МОСКВА-2004

**МОСКОВСКИЙ ГОСУДАРСТВЕННЫЙ
ТЕХНИЧЕСКИЙ УНИВЕРСИТЕТ
ГРАЖДАНСКОЙ АВИАЦИИ**

**Кафедра технической эксплуатации
летательных аппаратов и авиадвигателей**

Н.Н. Смирнов, Е.Д. Герасимова

**ПОСОБИЕ
по выполнению курсовой работы
по дисциплине
“ОСНОВЫ ТЕОРИИ ЭКСПЛУАТАЦИИ
АВИАЦИОННОЙ ТЕХНИКИ”**

*для студентов IV курса
специальности 130300
заочного обучения*

МОСКВА-2004

ББК 052-082

Рецензент проф. Зубков Б.В.

Смирнов Н.Н., Герасимова Е.Д.

Пособие по выполнению курсовой работы по дисциплине “Основы теории эксплуатации авиационной техники”. - М., МГТУ ГА, 200 .- с.

Данное пособие издается в соответствии с утверждённым учебным планом по дисциплине ”Основы теории эксплуатации авиационной техники” для студентов 4 курса специальности 130300 заочного обучения.

Рассмотрены и одобрены на заседаниях кафедры ТЭЛА и АД 2004г. и методического совета по специальности 130300 2004г.

Содержание

1. ОБЩИЕ ПОЛОЖЕНИЯ	5
2. СТРУКТУРА КУРСОВОЙ РАБОТЫ.....	7
3. МЕТОДИЧЕСКИЕ УКАЗАНИЯ ПО РЕШЕНИЮ ЗАДАЧ КУРСОВОЙ РАБОТЫ	9
3.1. ОПРЕДЕЛЕНИЕ ПОКАЗАТЕЛЕЙ БЕЗОТКАЗНОСТИ ФУНКЦИОНАЛЬНОЙ СИСТЕМЫ (ПОДСИСТЕМЫ) ЛА	9
3.2. ОПРЕДЕЛЕНИЕ ОБОБЩЁННЫХ ПОКАЗАТЕЛЕЙ ЭКСПЛУАТАЦИОННОЙ ТЕХНОЛОГИЧНОСТИ ЛА	16
3.3. ВЫБОР РАЦИОНАЛЬНЫХ СТРАТЕГИЙ ТЕХНИЧЕСКОГО ОБСЛУЖИВАНИЯ ИЗДЕЛИЙ ФУНКЦИОНАЛЬНОЙ СИСТЕМЫ	20
3.4 ОПРЕДЕЛЕНИЕ ПЕРИОДИЧНОСТИ ТЕХНИЧЕСКОГО ОБСЛУЖИВАНИЯ ИЗДЕЛИЙ ФС.....	25
3.5. ПОСТРОЕНИЕ МОДЕЛИ ПРОЦЕССА ТЕХНИЧЕСКОЙ ЭКСПЛУАТАЦИИ ЛА И РАСЧЕТ ПОКАЗАТЕЛЕЙ ЕГО ЭФФЕКТИВНОСТИ.	38
ЛИТЕРАТУРА.....	52

КУРСОВАЯ РАБОТА.

Тема: Проектирование эффективного процесса технической эксплуатации летательного аппарата.

1. ОБЩИЕ ПОЛОЖЕНИЯ

Выполнение курсовой работы является промежуточным этапом в изучении дисциплины "Основы теории эксплуатации АТ".

Цель курсовой работы - приобретение студентами навыков разработки эффективного процесса технической эксплуатации (ПТЭ) ЛА, включающего решение задач: определения показателей безотказности на примере одной из функциональных систем (ФС) или подсистем; определения обобщенных показателей эксплуатационной технологичности ЛА; выбора рациональных стратегий технического обслуживания (ТО) изделий ФС (подсистемы); формирования оптимального регламента ТО ФС (подсистемы); анализа и оценки эффективности проектируемого ПТЭ ЛА.

Объектом исследования является ЛА, ФС (подсистема) и ее изделия. Тип ЛА, ФС (подсистема), изделия выбираются преподавателем с учетом пожеланий студента и записываются в техническом задании (Приложение 1). Там же указываются условия эксплуатации парка ЛА (№ варианта по приложению 7).

Все необходимые исходные данные для выполнения курсовой работы содержатся в приложениях к методическим указаниям.

При выполнении курсовой работы автор несет ответственность за правильность расчетов, принятые технические решения.

Преподаватель, обеспечивающий руководство работой студента, уточняет объем и глубину проработки отдельных частей и вопросов, проводит консультации и осуществляет текущий контроль.

При оформлении курсовой работы необходимо соблюдать определенные требования. Изложение материала должно быть конкретным и четким. Замствованные цитаты, таблицы и другие материалы должны иметь ссылку на источник.

Текст курсовой работы оформляется по ГОСТу 2.105-75 "Общие требования к текстовым документам" и ГОСТу 2.106-68 "Текстовые документы", п.7 "Расчеты". Титульный лист должен быть оформлен чертежным шрифтом (Приложение 2). За ним следует техническое задание и далее лист "Содержание", на котором выполняется основная надпись по форме рис. 1.1.

					М 93027.ОТЭАТ.КР.29			
Иzm	Лист	N докум.	Подп.	Дата	Гидросистема торможения колес шасси самолета Ил-86			
Разраб.	Громов			1.05	Лит	Лист	Листов	
Провер.	Иванов			10.05		2	25	
					МГТУ ГА			
Нормок.	Петров			15.05				

Рис.1.1. Пример заполнения основных надписей пояснительной записи

Шифр работы формируется в следующей последовательности:

- 1) шифр студенческой книжки;
- 2) дисциплина - ОТЭ АТ;
- 3) обозначение работы - КР (курсовая работа);
- 4) вариант задания - соответствует обозначению функциональной системы по классификации АТА-100;

Текст ПЗ должен быть написан разборчиво на одной стороне листов формата А4 (297x210 мм) с полями слева 20 мм. Необходимые схемы, графики в тексте ПЗ могут выполняться на стандартах А4 миллиметровой бумаги.

Числовые значения в формулах объясняются. Окончательный результат приводится с указанием размерности. На графиках необходимо указывать масштаб и размерность изображаемых величин. Иллюстрации должны иметь номера и подрисуночные надписи. Таблицы, помещенные в тексте, должны иметь номера и названия. На все иллюстрации и таблицы в тексте должны быть даны ссылки.

В тексте необходимо выделить заголовки отдельных частей работы, их разделов и подразделов в соответствии с содержанием. В конце ПЗ дается литература, используемая при выполнении курсовой работы.

Общий объем ПЗ должен составлять 25...30 страниц формата А4.

2. СТРУКТУРА КУРСОВОЙ РАБОТЫ

Проектирование эффективного процесса технической эксплуатации ЛА представляет последовательное решение следующих задач:

Задача 1. Определение показателей безотказности ФС (подсистемы) ЛА.

Задача 2. Определение обобщенных показателей эксплуатационной технологичности (ЭТ) ЛА.

Задача 3. Выбор рациональных стратегий ТО изделий ФС (подсистемы).

Задача 4. Формирование оптимального регламента ТО ЛА на примере ФС (подсистемы)

Задача 5. Построение модели процесса технической эксплуатации ЛА и расчет показателей его эффективности.

Каждая задача решается для указанных в техническом задании типа ЛА, ФС (или подсистемы) и ее основных изделий. Эффективность спроектированного ПТЭ определяется по результатам оценки его показателей и сравнения их с заданными нормативными значениями.

Пояснительная записка оформляется в следующей последовательности.

Титульный лист

Техническое задание

Введение

1. Определение показателей безотказности ФС (подсистемы).

1.1. Описание функциональных задач, выполняемых ФС (подсистемой).

1.2. Определение показателей безотказности основных изделий.

1.3. Определение показателей безотказности блоков и ФС (подсистемы).

2. Определение обобщенных показателей ЭТ ЛА.

2.1. Определение показателя $K_{оп}$.

2.2. Определение показателя $K_{от}$.

3. Выбор рациональных стратегий ТО изделий ФС (подсистемы).

4. Формирование оптимального регламента ТО ЛА на примере ФС (подсистемы).

4.1. Определение периодичности ТО изделий ФС.

4.2. Группировка операций ТО изделий в оптимальные формы регламента ФС.

5. Построение модели ПТЭ ЛА и расчет показателей его эффективности.

5.1. Построение модели ПТЭ.

5.2. Оценка уровня эффективности проектируемого ПТЭ.

5.3. Разработка предложений по совершенствованию процесса ТО и улучшению ЭТ ЛА.

Выводы.

Использованная литература.

3. МЕТОДИЧЕСКИЕ УКАЗАНИЯ ПО РЕШЕНИЮ ЗАДАЧ КУРСОВОЙ РАБОТЫ

3.1. ОПРЕДЕЛЕНИЕ ПОКАЗАТЕЛЕЙ БЕЗОТКАЗНОСТИ ФУНКЦИОНАЛЬНОЙ СИСТЕМЫ (ПОДСИСТЕМЫ) ЛА

Определение показателей безотказности ФС и ее изделий выполняется с целью последующего выбора рациональных стратегий ТО, формирования оптимального регламента и проектирования эффективного ПТЭ ЛА.

Исходной информацией является: принципиальная схема ФС (справочный материал при необходимости выдается на кафедре); характеристики безотказности изделий ФС (параметры потока отказов $\omega_0(t)$ и неисправностей $\omega_H(t)$ представлены в Приложении 3).

Анализ и оценка безотказности ФС выполняется на основе функциональных задач, решаемых ФС (подсистемой) и основными ее изделиями.

Функциональные задачи, выполняемые ФС и каждым ее изделием, студент изучает по техническим описаниям и непосредственно при изучении конкретной техники. На основе полученной информации составляется краткое описание функционирования системы. Принципиальная схема ФС (подсистемы) со спецификацией должна быть представлена в записке на листе формата А4. Описывается назначение каждого изделия и приводятся типовые (возможные) отказы и повреждения как изделий, так и системы в целом. Материал оформляется самостоятельным подразделом в соответствии с предложенной структурой курсовой работы.

3.1.1. Определение показателей безотказности отдельных изделий

Определяется вероятность безотказной работы каждого изделия из предположения стационарного потока отказов:

$$P(t) = e^{-\omega t} \quad (3.1)$$

для $t = t_{Б.П.}$; $t = \tau_{\Phi_1}$; $t = \tau_{\Phi_2}$; $t = \tau_{\Phi_3}$,

где $\bar{t}_{Б.П.}$ - средняя длительность беспосадочного полёта (Приложение 4);

τ_{Φ_1} , τ_{Φ_2} , τ_{Φ_3} - периодичность выполнения 1, 2, 3-ей форм регламента для типа ЛА (Приложение 4);

$\omega_o(t)$ - параметр потока отказов изделия (Приложение 3).

$\omega_H(t)$ - параметр потока неисправностей изделия (Приложение 3).

3.1.2. Определение показателей безотказности ФС (подсистемы)

Анализ и оценка безотказности ФС проводится с целью ответа на вопрос: влияют ли отказы изделий ФС на безопасность полетов?

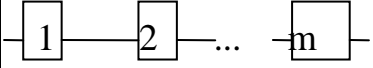
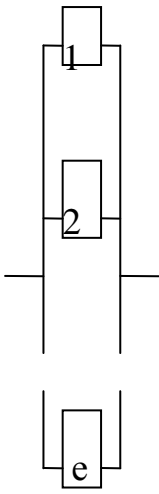
Для определения показателей безотказности ФС (вероятности безотказной работы за $t = \bar{t}_{Б.П.}, \tau_{\Phi_1}, \tau_{\Phi_2}, \tau_{\Phi_3}$) используется метод структурных схем с учетом последовательного и параллельного соединения изделий ФС. Исходной информацией для построения структурной схемы является краткое описание функционирования ФС, ее принципиальная схема и перечень типовых отказов изделий, при которых они не выполняют своих функциональных задач. Следует иметь в виду, что для многофункциональных ФС структурная схема строится для каждой функции отдельно.

В результате построения структурной схемы выделяются изделия, отказы которых не влияют на безопасность полетов (параллельное соединение) и изделия, отказы которых влияют на безопасность полетов (последовательное соединение).

Для расчета вероятности безотказной работы ФС $P(t)$ используются выражения, представленные в табл. 3.1.

Таблица 3.1

Оценка $P(t)$ ФС методом структурных схем.

Элемент структурной схемы		Вероятность безотказной работы	Примечания
Соедине- ние	Графическое изображение		
Последо- вательное		$P(t) = \prod_{j=1}^m P_j(t)$	$P_j(t)$ – вероятность безотказной работы j -го изделия. m – количество изделий, соединенных последовательно.
Парал- лельное		$P(t) = 1 - \prod_{j=1}^e [1 - P_j(t)]$	e – количество изделий, соединенных параллельно.

Рассмотрим в качестве примера топливную систему самолета Ту-154М, принципиальная схема которой приведена на рис.3.1. Топливная система состоит из:

- | | | |
|---|------------------------|------------------------------------|
| 1 | Топливный бак | $B_1, B_2 (L, P), B_3 (L, P), B_4$ |
| 2 | Насос подкачки ЭЦН-325 | $HP_8 - HP_{11}$ |
| 3 | Обратный клапан | $OK_1 - OK_{16}$ |
| 4 | Центробежный насос | DCN |
| 5 | Насос регулятор | HP |
| 6 | Порционер | P |

7	Фильтр	Φ
8	Трубопроводы	Tr
9	Насос перекачки ЭЦН-323	НП ₁ – НП ₇ , НП ₁₂ – НП ₁₆
10	Расходомер	P

После краткого описания работы топливной системы анализируются отказы изделий, при которых они не выполняют своих функций, и последствия отказов с учетом последовательного и параллельного соединения.

Например, в насосе перекачки НП3 может отказать электрическая и механическая части. Оба этих отказа приводят к отказу насоса. Отказ насоса приведет к тому, что на больших высотах нарушится бесперебойная подача топлива от топливного бака Б3 к насосу двигателя ДЦН. Это означает, что в структурной схеме насос НП3 и бак Б3 должны быть соединены последовательно. Отказ насоса перекачки НП3 приводит к отказу одной ветви системы питания от Б3. Однако подачу топлива будут обеспечивать насосы НП1 и НП2. Отсюда следует, что в структурной схеме НП1, НП2, НП3 должны быть соединены параллельно.

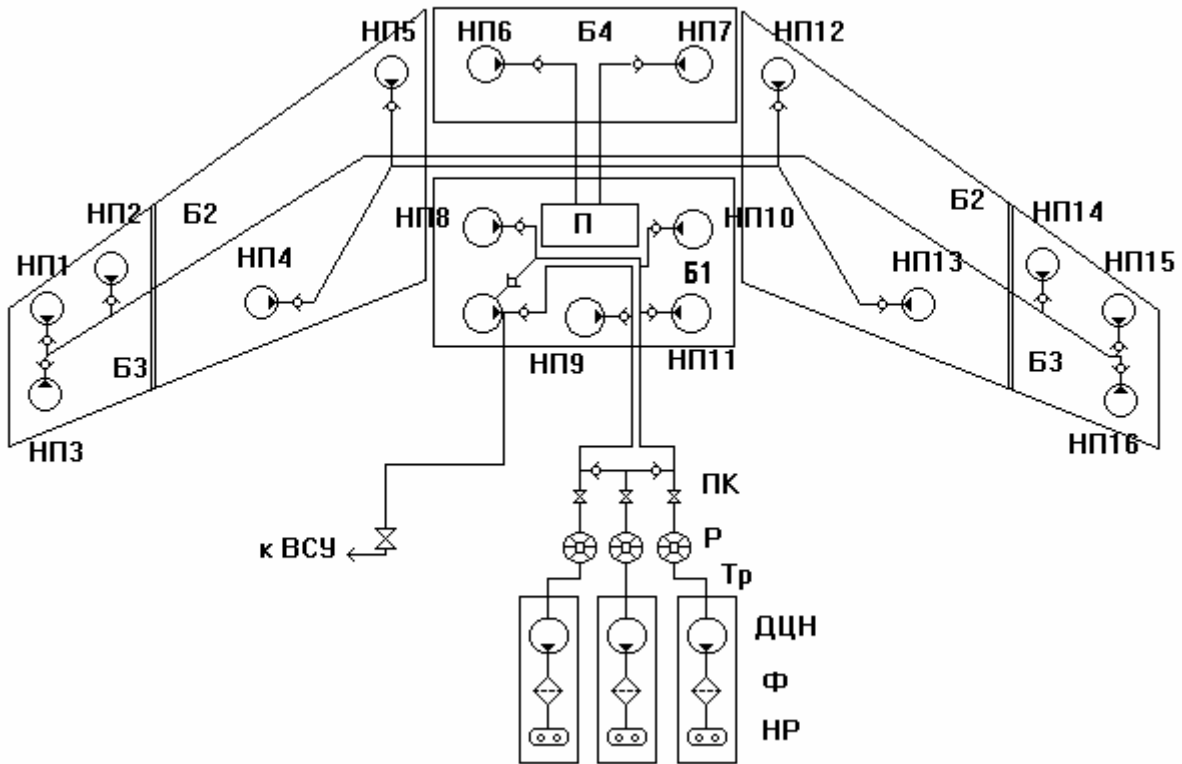


Рис.3.1 Принципиальная схема топливной системы самолета Ту-154М

Для упрощения расчета систему рекомендуется разбить на блоки I-VIII. Блоки целесообразно составлять из элементов, имеющих функциональную связь (рис. 3.2).

Далее определяется вероятность безотказной работы для каждого блока.

В рассмотренном примере имеем:

- 1) для блока I: $P_I = P_{B3l} [1 - (1 - P_{HPI1} \cdot P_{OK1}) \cdot (1 - P_{HPI2} \cdot P_{OK2}) \cdot (1 - P_{HPI3} \cdot P_{OK3})]$
- 2) для блока II: $P_{II} = P_{B2l} [1 - (1 - P_{HPI4} \cdot P_{OK4}) \cdot (1 - P_{HPI5} \cdot P_{OK5})]$
- 3) для блока III: $P_{III} = P_{B4} [1 - (1 - P_{HPI6} \cdot P_{OK6}) \cdot (1 - P_{HPI7} \cdot P_{OK7})]$
- 4) для блока IV: $P_{IV} = P_{B2n} [1 - (1 - P_{HPI12} \cdot P_{OK12}) \cdot (1 - P_{HPI13} \cdot P_{OK13})]$
- 5) для блока V: $P_V = P_{B3n} [1 - (1 - P_{HPI14} \cdot P_{OK14}) \cdot (1 - P_{HPI15} \cdot P_{OK15}) \cdot (1 - P_{HPI16} \cdot P_{OK16})]$
- 6) для блока VI: $P_{VI} = P_P \cdot P_B$
- 7) для блока VII: $P_{VII} = 1 - (1 - P_{HPI8} \cdot P_{OK8}) \cdot (1 - P_{HPI9} \cdot P_{OK9}) \cdot (1 - P_{HPI10} \cdot P_{OK10}) \cdot (1 - P_{HPI11} \cdot P_{OK11})$

8) для блока VIII: $P_{VIII} = P_{ДЦН} \cdot P_{\Phi} \cdot P_{HP} \cdot P_{Tp}$

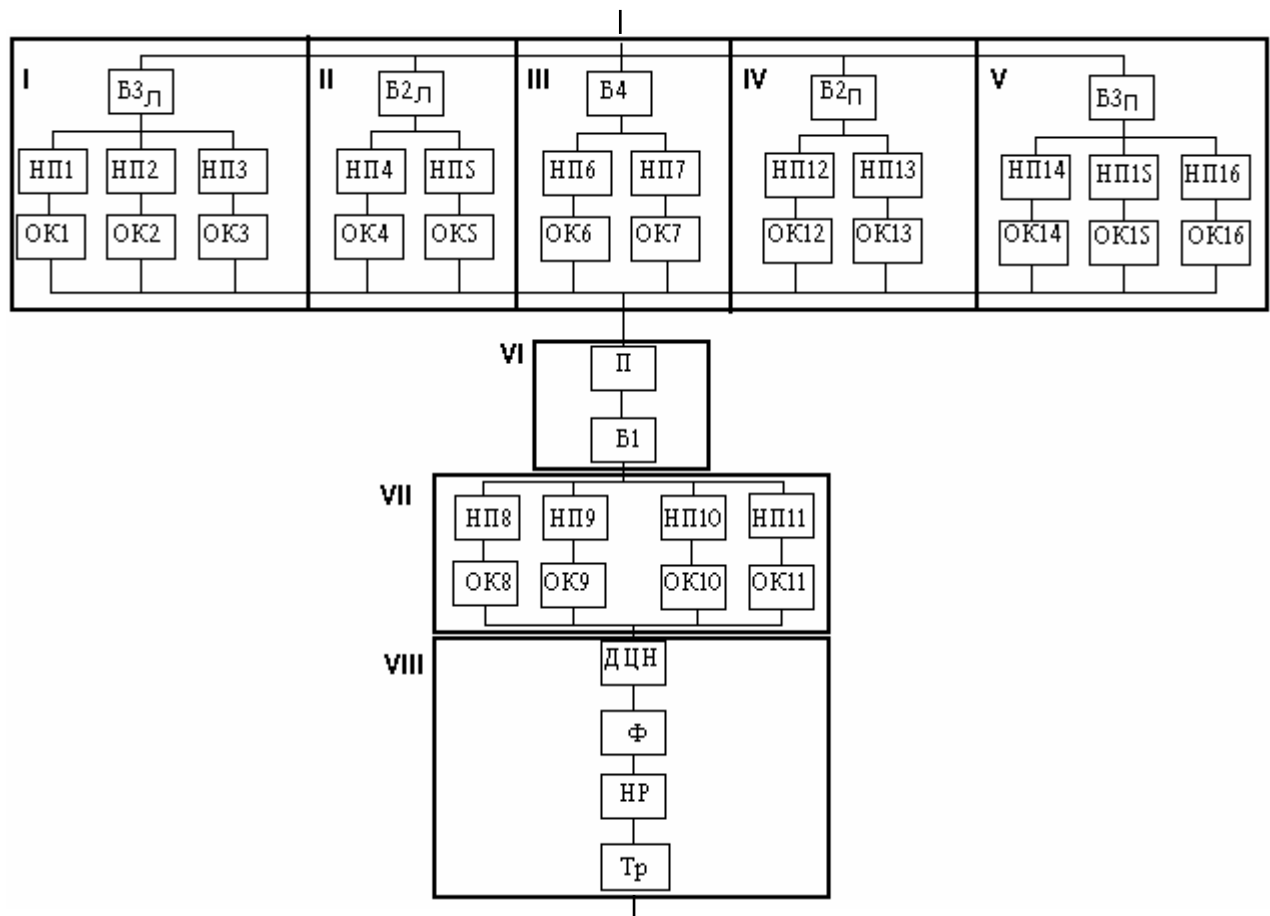


Рис. 3.2. Детализированная структурная схема системы.

Строим укрупненную структурную схему ФС (рис. 3.3).

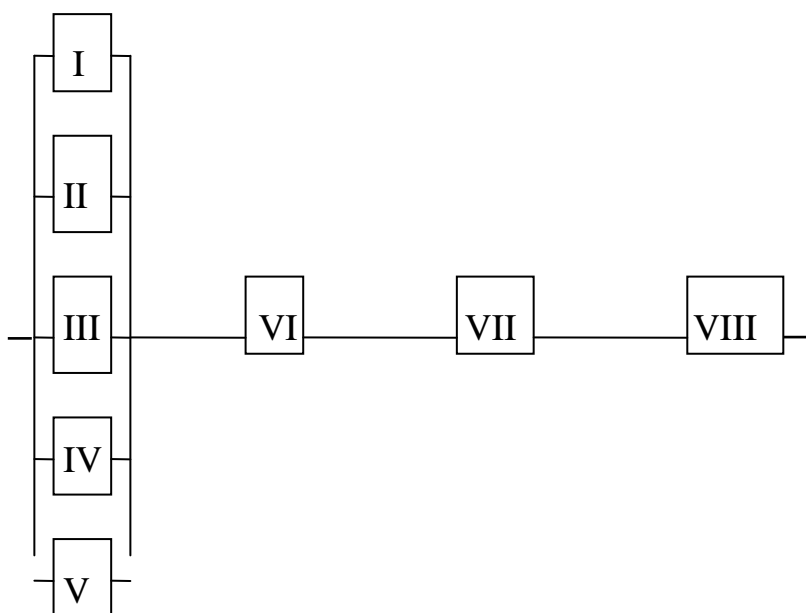


Рис. 3.3. Укрупненная структурная схема системы.

Из схемы следует, что вероятность безотказной работы топливной системы будет равна:

$$P_{\Phi C} = [1 - (1 - P_I) \cdot (1 - P_{II}) \cdot (1 - P_{III}) \cdot (1 - P_{IV}) \cdot (1 - P_V)] \cdot P_{VI} \cdot P_{VII} \cdot P_{VIII}$$

Расчет доводится до числовой оценки, подстановкой значений вероятности безотказной работы блоков и изделий в соответствии с табл. 3.1 и выполняется для $t = \bar{t}_{Б.П.}$, $\tau_{\Phi 1}$, $\tau_{\Phi 2}$, $\tau_{\Phi 3}$

Результаты определения показателей безотказности ФС и ее изделий представляются в форме табл. 3.2.

Таблица 3.2

Результаты определения показателей безотказности отдельных изделий, блоков и ФС в целом .

Объект		Вероятн. безотказной работы объекта для наработки				Влияние отказа изделия на безопасность полёта.		
Наименов.	Обозн. по схеме	$\bar{t}_{Б.П.}$	$\tau_{\Phi 1}$	$\tau_{\Phi 2}$	$\tau_{\Phi 3}$	да	нет	
1	2	3	4	5	6	7	8	9
Из- дел.	Топл. бак	Б1						
	Насос подк.	НП						
						
Блоки	I							
	II							
	...							
Функцио- нал. система	ФС							

По результатам расчетов, проведенных в данном разделе (на основании информации, представленной в табл. 3.2) необходимо:

- 1) проанализировать значения показателей безотказности изделий,

- блоков и ФС в целом и динамику их изменения от наработки;
- 2) выделить наименее надежные изделия и блоки и дать предложения по повышению безотказности ФС;
 - 3) выделить изделия, отказы которых влияют на безопасность полётов, отметив их знаком + в графе 8 табл. 3.2.

3.2. ОПРЕДЕЛЕНИЕ ОБОБЩЁННЫХ ПОКАЗАТЕЛЕЙ ЭКСПЛУАТАЦИОННОЙ ТЕХНОЛОГИЧНОСТИ ЛА

Эксплуатационная технологичность ЛА оценивается совокупностью обобщенных и единичных показателей. Обобщенные показатели характеризуют Э.Т. ЛА с точки зрения потребных затрат времени и труда на проведение ТОиР. Единичные показатели характеризуют лишь отдельные стороны Э.Т. Выбор состава обобщенных показателей Э.Т. осуществляется исходя из принятых структуры и совокупности показателей эффективности ПТЭ ЛА. Значения показателей Э.Т. определяются на основе использования данных по ТОиР, а также по действующим ресурсам самолетов, двигателей, комплектующих изделий.

В курсовой работе для заданного типа ЛА предлагается определить значения следующих обобщенных показателей Э.Т.:

- а) K_{OP} - удельная суммарная оперативная продолжительность ТОиР;
- б) K_{OT} - удельная суммарная оперативная трудоемкость ТОиР;

3.2.1. Определение показателя K_{OP} .

Показатель “удельная суммарная оперативная продолжительность ТО и Р K_{OP} ” определяется из выражения:

$$K_{OP} = \frac{t_{OP} + t_{Pi} + t_{PEM.C}}{T_{PEC.C}} + \frac{t_{CM} \cdot \beta}{T_{PEC.D} \cdot (1 - K_D)}; \quad (3.2)$$

где $t_{оп}$, $t_{п}$ - суммарная оперативная продолжительность выполнения всех форм оперативного и периодического обслуживания, соответственно, за межремонтный ресурс (ремонтный цикл) самолета $T_{pec.c}$, ч; $t_{рем.c}$ – средняя оперативная продолжительность ремонта самолета или суммарная средняя оперативная продолжительность всех ремонтных форм за $T_{pec.c}$, ч; $t_{см}$ - средняя оперативная продолжительность замены двигателя, ч; $T_{pec.d}$ – межремонтный ресурс двигателя, ч; K_d – коэффициент досрочных замен двигателей; β - коэффициент, учитывающий количество замен двигателей, которые не совмещаются по времени с проведением периодических форм ТОиР на самолете.

Значения $t_{оп}$ и $t_{п}$ определяются исходя из принятых для каждого типа самолета форм технического обслуживания, периодичности и средних значений оперативной продолжительности их выполнения:

$$t_{оп} = t_A \cdot n_A + t_B \cdot n_B ; \quad (3.3)$$

$$t_{п} = t_{Ф1} \cdot n_{Ф1} + t_{Ф2} \cdot n_{Ф2} + t_{Ф3} \cdot n_{Ф3} ; \quad (3.4)$$

где t_A , t_B - средние значения оперативной продолжительности выполнения оперативных форм ТО самолета (форм А и Б); n_A, n_B - общее число соответствующих форм обслуживания за $T_{PEC.C}$; $t_{Ф1}$, $t_{Ф2}$, $t_{Ф3}$ - средние значения оперативной продолжительности выполнения периодических форм ТО самолета ($Ф-1$, $Ф-2$, $Ф-3$); $n_{Ф1}$, $n_{Ф2}$, $n_{Ф3}$ - общее число соответствующих форм обслуживания за $T_{PEC.C}$.

Общее число оперативных форм обслуживания за $T_{PEC.C}$ рекомендуется определять из выражений:

$$n_A = \frac{1,1 \cdot T_{PEC.C}}{t_{\delta,n}} ; \quad (3.5)$$

$$n_B = \frac{365 \cdot T_{PEC.C}}{\tau_{\phi B} \cdot T_{GCC}} - n_{п} ; \quad (3.6)$$

где n_p - суммарное число периодических форм ТО, выполняемых за $T_{PEC.C}$; τ_{FB} - периодичность выполнения формы Б в сутках (Приложение 4); T_{GCC} - средний годовой налет на списочный самолет (Приложение 4).

Общее число периодических форм ТО n_p за $T_{PEC.C}$ определяется с использованием данных о периодичности выполнения форм Ф-1, Ф-2, Ф-3 для заданного типа самолета (Приложение 4). При этом используются следующие выражения:

$$n_{\phi_3} = \frac{T_{PEC.C}}{\tau_{\phi_3}}; \quad n_{\phi_2} = \frac{T_{PEC.C}}{\tau_{\phi_2}} - n_{\phi_3}; \quad n_{\phi_1} = \frac{T_{PEC.C}}{\tau_{\phi_1}} - (n_{\phi_3} + n_{\phi_2})$$

Необходимые для расчета исходные данные о $T_{PEC.C}$, $T_{PEC.D}$, T_{GCC} , t_{REM} , t_{CM} , β , K_d и другие содержатся в приложениях 4 и 5.

Результаты расчета представляются в форме табл. 3.3.

Таблица 3.3

Результаты расчета суммарной оперативной продолжительности ТОиР самолёта (для первого члена выражения 3.2)

Формы ТОиР	Число обслуживаний за $T_{PEC.C}$	Оперативная продолжительность ТОиР, ч.	
		одного обслуживания и ремонта	суммарная за $T_{PEC.C}$
А(предполетное и транзитное ТО)			
Б(базовое ТО)			
Ф-1(через...ч.нал.)			
Ф-2(через...ч.нал.)			
Ф-3(через...ч.нал.)			
Ремонт(через ... ч.нал.)			
		Итого:	

Далее с использованием результатов расчета (табл. 3.3.) и других необходимых исходных данных по выражению (3.2) определяется искомое значение $K_{\text{оп}}$.

3.2.2. Определение показателя $K_{\text{от}}$.

Показатель "удельная суммарная оперативная трудоемкость ТОиР" определяется из выражения

$$K_{\text{от}} = \frac{T_{\text{оп}} + T_{\pi} + T_{\text{PEM.C}}}{T_{\text{PEC.C}}} + \frac{(T_{\text{CM}} + T_{\text{PEM.D}}) \cdot n_{\text{д}}}{T_{\text{PEC.D}} \cdot (1 - K_{\text{д}})} + \sum_{i=1}^{N_{\text{и}}} \frac{T_{\text{PEM.I}_i} \cdot n_{\text{и}_i}}{T_{\text{PEC.I}_i} \cdot (1 - \alpha_{\text{и}_i})}; \quad (3.7)$$

где $T_{\text{оп}}$ - суммарная оперативная трудоемкость всех форм оперативного технического обслуживания, включая работы по устранению отказов и повреждений за $T_{\text{PEC.C}}$ чел.-ч; T_{π} - суммарная оперативная трудоемкость всех форм периодического обслуживания за $T_{\text{PEC.C}}$, чел.-ч; $T_{\text{PEM.C}}$, $T_{\text{PEM.D}}$, T_{PEM_i} - трудоемкость ремонта самолета, двигателя, i -го изделия соответственно, чел.-ч; T_{CM} - трудоемкость замены двигателя, чел.-ч; $T_{\text{PEC.I}_i}$ - межремонтный ресурс i -го изделия, ч; $\alpha_{\text{и}_i}$ - коэффициент досрочных замен i -го изделия; $n_{\text{д}}$, $n_{\text{и}_i}$ - число двигателей и изделий каждого типа на самолете, заменяемых в пределах $T_{\text{PEC.D}}$ и $T_{\text{PEC.C}}$ соответственно; $N_{\text{и}}$ - число типов изделий, заменяемых на самолете в пределах $T_{\text{PEC.C}}$.

Величины $T_{\text{оп}}$ и T_{π} определяются исходя из принятых для самолета форм ТО в пределах $T_{\text{PEC.C}}$, средних значений оперативной трудоемкости каждой из форм и их числа за $T_{\text{PEC.C}}$.

Число обслуживаний определяется по выражениям приведенным выше (п.3.2.1). Исходные данные об оперативной трудоемкости форм ТОиР приведены в Приложении 6. Результаты расчета представляются в форме табл. 3.4.

Таблица 3.4

Результаты расчета суммарной оперативной трудоемкости ТОиР самолёта
(для первого члена выражения (3.7))

Формы ТОиР	Число обслуживаний за $T_{PEC.C}$	Оперативная трудоёмкость ТОиР,чел.-ч	
		одного обслуживания и ремонта	суммарная за $T_{PEC.C}$
А(предполетное и транзитное ТО)			
Б(базовое ТО)			
Ф-1(через...ч.нал.)			
Ф-2(через...ч.нал.)			
Ф-3(через...ч.нал.)			
Ремонт(через ... ч.нал.)			
		Итого:	

Необходимые исходные данные для определения значения второго члена выражения (3.7) содержатся в приложениях 4 и 6.

Третий член выражения (3.7) из-за отсутствия полных и достоверных исходных данных при выполнении курсовой работы можно не рассчитывать, а принять его равным 10% от удельной оперативной трудоемкости ТО и Р самолета (первого члена выражения (3.7)).

Имея исходные данные для определения всех трех членов выражения (3.7) рассчитывается искомое значение показателя K_{OT} для рассматриваемого типа самолёта.

3.3. ВЫБОР РАЦИОНАЛЬНЫХ СТРАТЕГИЙ ТЕХНИЧЕСКОГО ОБСЛУЖИВАНИЯ ИЗДЕЛИЙ ФУНКЦИОНАЛЬНОЙ СИСТЕМЫ

В зависимости от имеющихся возможностей определения работоспособного состояния изделий в процессе эксплуатации и от принятого критерия для установления сроков их замен на самолете различают следующие стратегии

эксплуатации (использования): до выработки ресурса (срока службы), до отказа, до предотказового состояния.

Выбор наиболее рациональной стратегии использования изделий производится в соответствии со схемами рис. 3.4 и 3.5 с учетом результатов анализа, выполненного в предыдущих разделах курсовой работы.



Рис. 3.4. Последовательность действий при выборе стратегий использования изделий ФС.



Рис. 3.5. Логическая схема выбора рациональных стратегий использования и ТО и Р для изделий ФС.

Стратегии эксплуатации (использования) изделий ФС ЛА связаны со стратегиями ТО.

Различают стратегии: техническое обслуживание по наработке (ТОНАР); техническое обслуживание по состоянию с контролем параметров (ТОСКП); техническое обслуживание по состоянию с контролем уровня надежности (ТОСКУН).

При ТОНАР перечень и периодичность выполнения операций определяются значением наработки изделия с начала эксплуатации или после капитального ремонта.

Техническое обслуживание по состоянию характеризуется тем, что перечень и периодичность выполнения операций определяется фактическим техническим состоянием изделия.

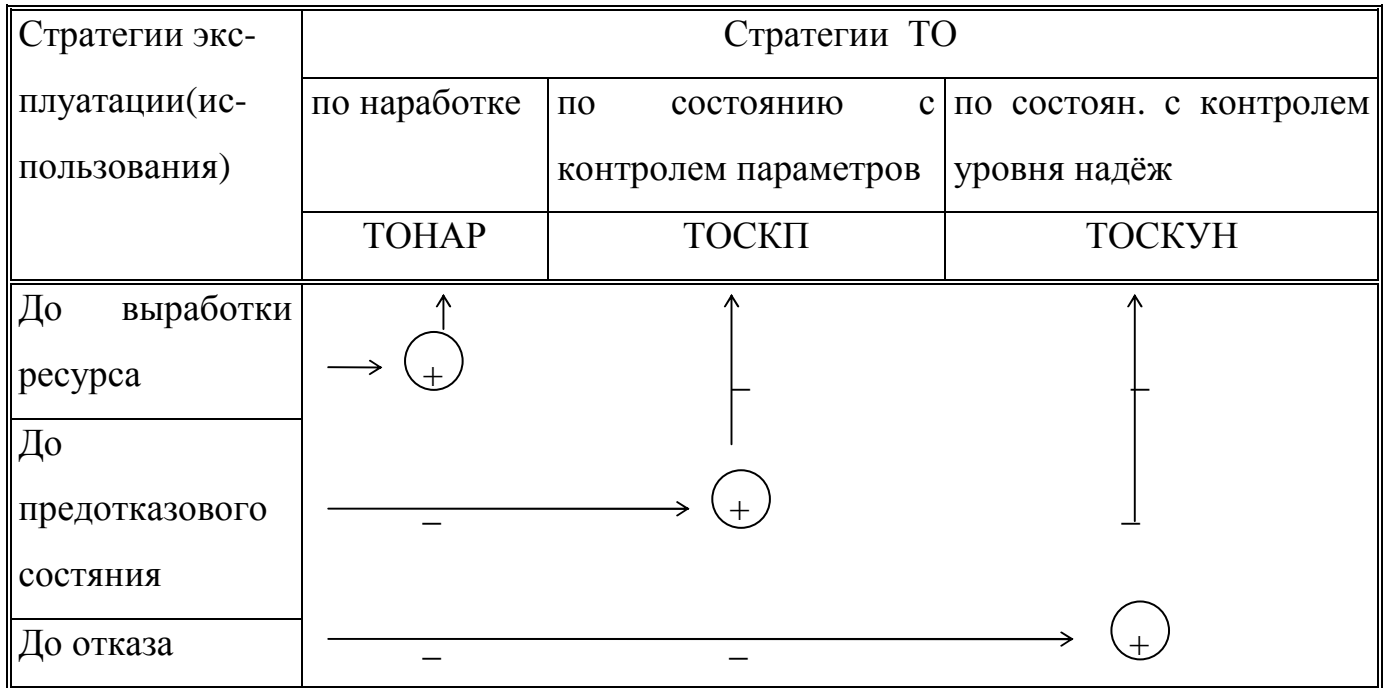
При ТОСКП изделие используется до предотказового состояния. Критерием технического состояния изделия является значение контролируемого параметра или совокупности параметров.

При ТОСКУН изделие используется до отказа, межремонтный ресурс не устанавливается, ТО содержит работы по регулировке, калибровке, обнаружению отказов и их устранению. Критерием технического состояния является уровень надежности совокупности однотипных изделий.

Для каждой стратегии эксплуатации (использования) можно выбрать вполне определенные, отличающиеся наибольшей эффективностью стратегии технического обслуживания (обозначены знаком "+" в табл. 3.5).

Таблица 3.5

Взаимосвязь стратегий эксплуатации и ТО изделий ФС.



Результаты логического выбора стратегий использования изделий рассматриваемой ФС в соответствии со схемами, приведенными на рис. 3.4 и 3.5, и последующее формирование наиболее рациональных стратегий ТО изделий, в соответствии с табл. 3.5, должны быть обобщены и представлены по форме табл. 3.6.

Таблица 3.6

Результаты выбора стратегий ТО изделий ФС.

N п/п	Наимено- вание изделий(по табл.3.2)	Влияет отказ изделия на безоп. полёта?	Влияет отказ изделия на регулярн. вылетов?	Возможно определение предот- казового состояния?	Выбранная стратегия использо- вания изделия	Рекомен- дуемая стратегия ТО изделия
1	2	3	4	5	6	7
1						
2						
3						
...						

Примечание: ответы на вопросы в графах 3, 4, 5 даются в форме "да", "нет".

3.4. ФОРМИРОВАНИЕ ОПТИМАЛЬНОГО РЕГЛАМЕНТА ТЕХНИЧЕСКОГО ОБСЛУЖИВАНИЯ ФУНКЦИОНАЛЬНОЙ СИСТЕМЫ ЛА.

Формирование оптимального регламента технического обслуживания функциональной системы ЛА выполняется в два этапа:

1 этап: определение оптимальной периодичности технического обслуживания изделий – $t_{\text{пр.опт}}$.

2 этап: группировка работ по техническому обслуживанию изделий в оптимальные формы регламента ФС.

3.4.1 Определение периодичности технического обслуживания изделий ФС.

Под периодичностью ТО изделий ($t_{\text{пр}}$) понимается интервал времени или наработки между данным видом ТО и последующим таким же видом или другим большей сложности.

Назначение сроков проведения ТО подразумевает определение оптимальной периодичности выполнения работ по ТО ($t_{\text{пр.опт}}$) для каждого изделия заданной ФС в соответствии с принципиальной схемой системы (см. раздел 3.1). В зависимости от эксплуатационно-технических характеристик изделий ФС определение $t_{\text{пр.опт}}$ производится различными методами (табл. 3.7) с использованием различных критериев оптимизации (табл. 3.8).

Выбор нужного критерия осуществляется в зависимости от:

вида выполняемых на изделии регламентных работ в соответствии с принятым перечнем;

условий поставленной задачи (что требуется получить: максимум безопасности, регулярности, исправности, экономической эффективности?).

В большинстве случаев для определения периодичности ТО отдельных изделий используются вероятностные методы.

При решении данной задачи студент определяет оптимальную периодичность ТО для каждого из изделий заданной ФС, подбирая для каждого из них "свой" критерий в соответствии с табл. 3.8.

Таблица 3.7

Классификация методов определения $t_{\text{пр.опт}}$ для изделий ФС .

N п/п	Степень влияния отказа изделия на безопасность полётов	Рекомендованная стратегия ТО	Наименование метода
1	2	3	4
1	Отказ влияет на без- опасность полётов	ТОНАР	Индивидуальный
2	Отказ не влияет на безопасность полётов	ТОСКУН	С учётом трудоёмкости ТО и Р
3	Отказ влияет на безопасность полётов, возможно определить предотказовое состояние	ТОСКП	С учётом развития не- исправности в отказ

Таблица 3.8

Математическое обеспечение и критерии оптимизации

N п/п	Математическое обеспечение метода	Критерий оптимизации	Примечание
1	5	6	7
1	$P(t_{\text{ПР}}) = e^{-\omega_0 \cdot t_{\text{ПР}}}$	$P(t_{\text{ПР}}) \geq P_{\text{НОРМ}}$	$P_{\text{НОРМ}}$ – задаётся из условия обеспечения безопасности полётов. $P(t_{\text{ПР}})$ – вероятность безотказной работы за $t_{\text{ПР}}$. ω_0 -параметр потока отказ.
2	$\Pi(t_{\text{ПР}}) = \frac{P(t_{\text{ПР}})}{T_{\text{TOuP}}(t_{\text{ПР}})}$	$\Pi(t_{\text{ПР}}) \rightarrow \max$	T_{TOuP} – трудоёмкость ТО и Р изделия, чел.-ч.
3	$P_{H,\bar{O}}(t_{\text{ПР}}) = \frac{\omega_H}{\omega_0 - \omega_H} \cdot \left(e^{-\omega_H \cdot t_{\text{ПР}}} - e^{-\omega_0 \cdot t_{\text{ПР}}} \right)$	$P_{H,\bar{O}}(t_{\text{ПР}}) \rightarrow \max$	$P_{H,\bar{O}}$ – вероятность появления неисправности и непоявления отказа изделия за $t_{\text{ПР}}$. ω_0, ω_H – параметры потока отказов и неисправностей, соответственно.

Для изделий, безотказность которых влияет на безопасность полётов и для которых не представляется возможным определить предотказовое состояние в связи с отсутствием контролируемого параметра или средств диагностирования, рекомендуется применять индивидуальный метод определения $t_{\text{ПР.опт.}}$. Графическая интерпретация метода представлена на рис. 3.6.

Исходной информацией для расчета является характеристика безотказности рассматриваемого изделия - параметр потока отказов $\omega_0(t)$, значения которого даны в Приложении 3.

Вероятность безотказной работы изделия за период между формами ТО $P(t_{\text{ПР}})$ определяется подстановкой различных значений $t_{\text{ПР}}$ в основное уравнение метода:

$$P(t_{\text{ПР}}) = e^{-\omega_0 \cdot t_{\text{ПР}}} \quad (3.8)$$

Результаты расчета для изделий, оптимальная периодичность ТО которых определяется по критерию $P(t_{\text{ПР}}) \geq P_{\text{НОРМ}}$, сводятся в табл. 3.9.

Таблица 3.9

Результаты расчета $t_{\text{ПР.ОПТ}}$ изделий ФС.

Наименование изделия	$t_{\text{ПР}}$	$P(t_{\text{ПР}})$	$t_{\text{ПР.ОПТ}}$

Для определения $t_{\text{ПР.ОПТ}}$ рекомендуется использовать $P_{\text{НОРМ}} \geq 0,99$.

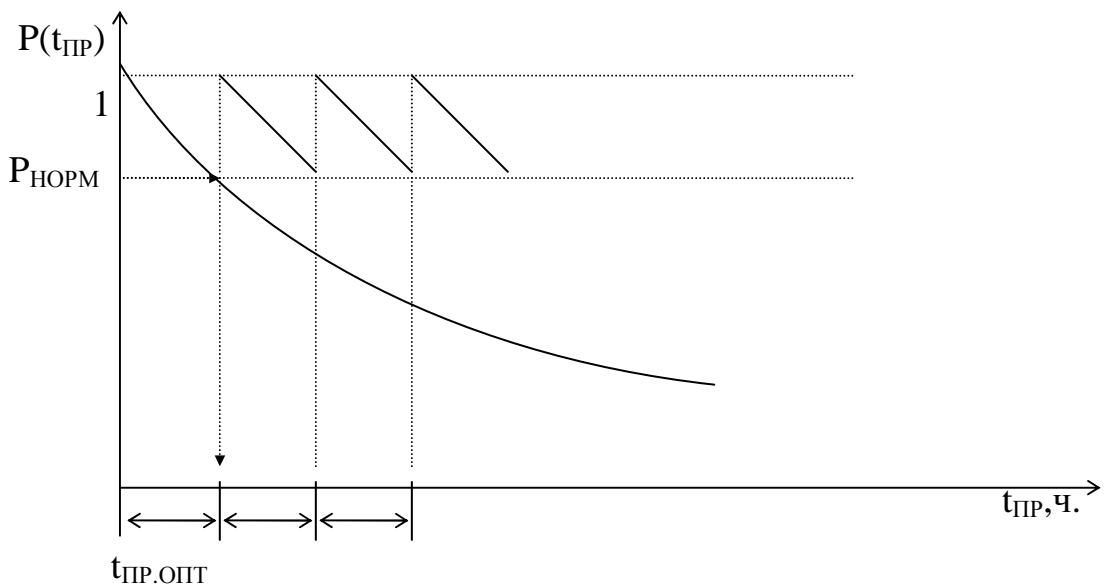


Рис. 3.6. Схема определения $t_{\text{ПР.ОПТ}}$ изделий ФС индивидуальным методом.

Для изделий, отказы которых не оказывают заметного влияния на безопасность полётов, определение оптимальной периодичности осуществляют

с учетом экономических показателей. В данном случае максимизируется отношение вероятности безотказной работы изделия в межпрофилактический период $P(t_{\text{ПР}})$ к трудоемкости его технического обслуживания (и текущего ремонта) за $t_{\text{ПР}}$ с учетом устранения отказов в случаях их появления ($T_{\text{ТОиР}}$).

$$\Pi(t_{\text{ПР}}) = \left[\frac{P(t_{\text{ПР}})}{T_{\text{ТОиР}}} \right]_{\max}; \quad (3.9)$$

В данном случае $T_{\text{ТОиР}}$ представляется в виде двух слагаемых:

- 1) трудоемкости плановых (профилактических) работ $T_{\text{то}}$;
- 2) трудоёмкости работ по устраниению неисправностей и отказов (текущего ремонта) T_p .

$$T_{\text{ТОиР}} = T_{\text{то}} + T_p \quad (3.10)$$

В свою очередь

$$T_{\text{то}} = \overline{T_{\text{то}}} \cdot \frac{\tau_{\text{ПР}}}{t_{\text{ПР}}}; \quad (3.11)$$

$$T_p = \overline{T_p} \cdot \omega_0 \cdot t_{\text{ПР}}; \quad (3.12)$$

где: $\overline{T}_{\text{то}}, \overline{T}_p$ - средние значения трудоемкости разового планового обслуживания и устранения неисправности или отказа, соответственно; $\tau_{\text{ПР}}$ - действующая периодичность ТО изделия; $t_{\text{ПР}}$ - варируемая периодичность ТО; ω_0 - параметр потока отказов изделия (статистическая оценка).

Развернутое выражение для определения $\Pi(t_{\text{ПР}})$ имеет вид:

$$\Pi(t_{\text{ПР}}) = \left[\frac{e^{-\omega_0 \cdot t_{\text{ПР}}}}{\overline{T_{\text{то}}} \cdot \frac{\tau_{\text{ПР}}}{t_{\text{ПР}}} + \overline{T_p} \cdot \omega_0 \cdot t_{\text{ПР}}} \right]_{\max} \quad (3.13)$$

Необходимые для расчета исходные данные можно получить из приложения 3.

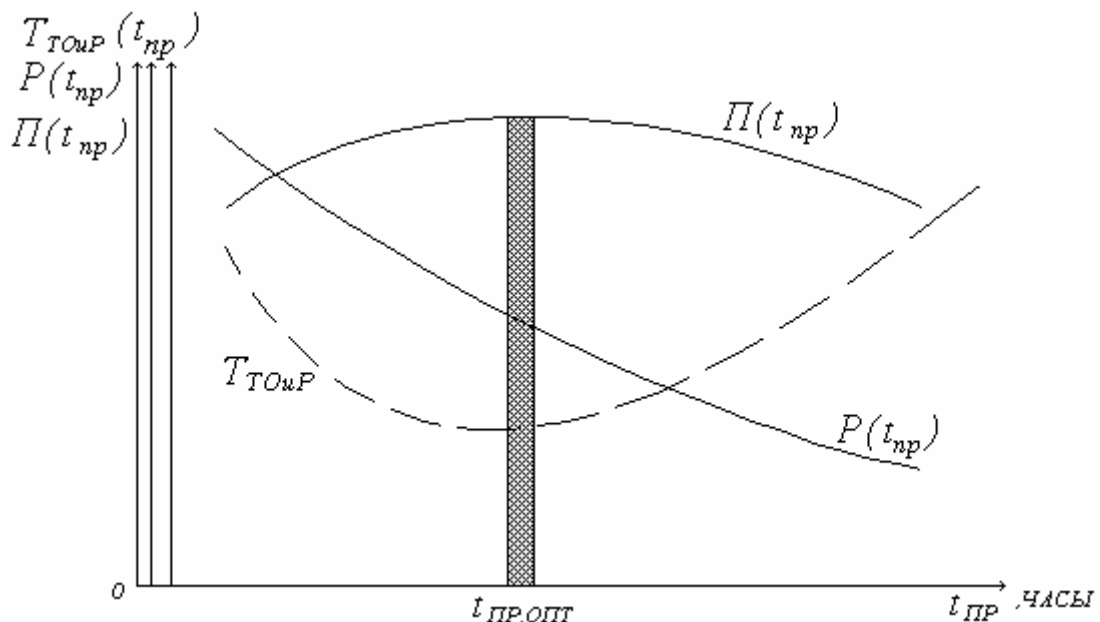
Для тех изделий ФС, из числа включенных в приложение 3, оптимальная периодичность ТО которых определяется по критерию $\Pi(t_{\text{ПР}}) \rightarrow \max$, результаты расчета представляются в форме табл. 3.10.

Таблица 3.10

Результаты расчета $T_{TOиP}$, Π и $t_{PR.OPT}$.

Nп/п	t_{PR}	$P(t_{PR})$	T_{TO}	T_P	$T_{TOиP}$	$\Pi(t_{PR})$	$t_{PR.OPT}$
1	2	3	4	5	6	7	8
1							
2							
...							
n							

В графике 2 задаются различные значения t_{PR} . Определяются значения $P(t_{PR})$, $T_{TOиP}$, $\Pi(t_{PR})$ и для одного из изделий дается графическое изображение зависимостей $P(t_{PR})$, $T_{TOиP}$ и $\Pi(t_{PR})$ от t_{PR} (рис. 3.7).

Рис. 3.7. Характер изменения $P(t_{PR})$, $T_{TOиP}$, $\Pi(t_{PR})$ в зависимости от t_{PR} .

Оптимальное значение $t_{PR.OPT}$ находится в зоне максимального значения $\Pi(t_{PR})_{max}$.

Для изделий, влияющих на безопасность полетов, применяется метод, основанный на анализе закономерностей развития отказов. Предполагается, что с устранением неисправностей в установленные сроки предупреждается развитие отказов (рис. 3.8).

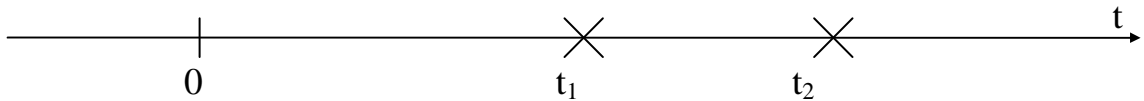


Рис. 3.8. Модель развития отказа:

0 - t_1 - время развития неисправности;

t_1 - момент появления неисправности;

$t_1 - t_2$ - время развития отказа;

t_2 - момент возникновения отказа.

Для оптимизации сроков выполнения ТОиР максимизируется вероятность совместного события - возникновение неисправности и не появление отказа

$P_{H,\bar{O}}(t)$:

$$P_{H,\bar{O}}(t_{IP}) = \left[\frac{\omega_H}{\omega_0 - \omega_H} \cdot (e^{-\omega_H \cdot t_{IP}} - e^{-\omega_0 \cdot t_{IP}}) \right]_{max}; \quad (3.14)$$

где t_{IP} - периодичность ТО;

ω_H, ω_0 - параметр потока неисправностей и отказов, соответственно.

Необходимые для расчёта исходные данные для тех изделий, периодичность которых определяется по критерию $P_{H,\bar{O}}(t_{IP}) \rightarrow max$, (ω_H и ω_0) можно получить из Приложения 3. Результаты расчёта представляются в форме табл. 3.11.

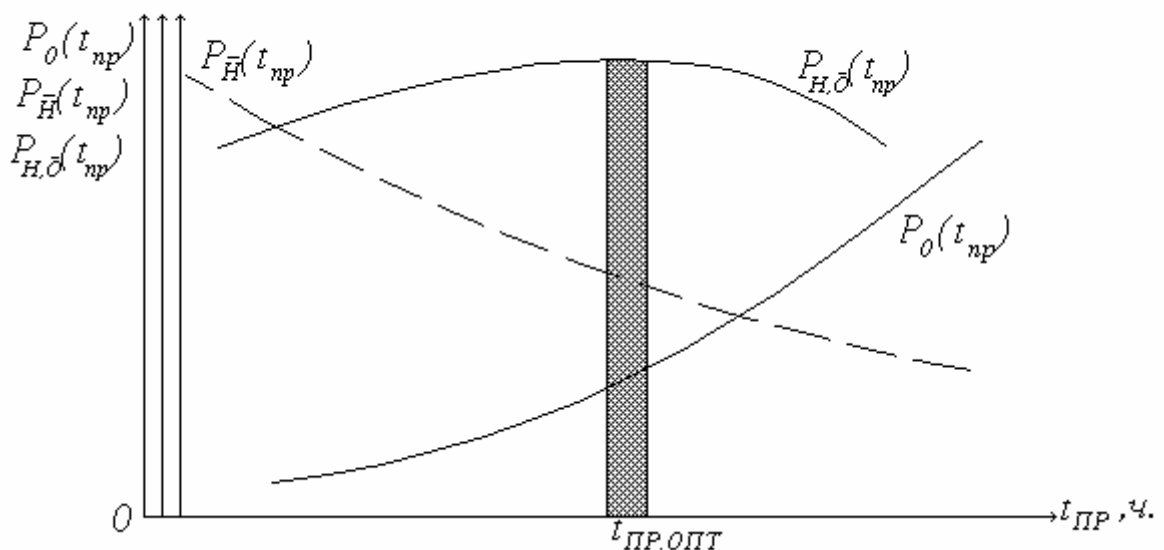
Таблица 3.11

Результаты расчёта $P_H(t_{\text{пп}}), P_O(t_{\text{пп}}), P_{H,\bar{O}}(t_{\text{пп}})$ и $t_{\text{пп.опт}}$.

Nп/п	$t_{\text{пп}}$	$P_{\bar{H}}(t_{\text{пп}})$	$P_O(t_{\text{пп}})$	$P_{H,\bar{O}}(t_{\text{пп}})$	$t_{\text{пп.опт}}$
1	2	3	4	5	6
1					
2					
...					
n					

В графике 2 задаются различные значения $t_{\text{пп}}$. Определяются значения:

$P_{\bar{H}}(t_{\text{пп}}) = e^{-\omega_H \cdot t_{\text{пп}}}$; $P_O(t_{\text{пп}}) = 1 - e^{-\omega_O \cdot t_{\text{пп}}}$; $P_{H,\bar{O}}(t_{\text{пп}})$ по выражению (3.14), а для одного из изделий дается графическое изображение зависимостей $P_{\bar{H}}(t_{\text{пп}}), P_O(t_{\text{пп}})$ и $P_{H,\bar{O}}(t_{\text{пп}})$ от $t_{\text{пп}}$ (рис. 3.9).

Рис. 3.9. Характер изменения $P_{\bar{H}}(t_{\text{пп}}), P_O(t_{\text{пп}}), P_{H,\bar{O}}(t_{\text{пп}})$ в зависимости от $t_{\text{пп}}$.

Оптимальные значения $t_{\text{пп.опт}}$ будут при максимальном значении $P_{H,\bar{O}}(t_{\text{пп}})_{\max}$.

Итоговые результаты определения $t_{\text{пр.опт}}$ для всех изделий ФС (в соответствии с Приложением 3) с использованием различных методов представляются в форме табл. 3.12.

Таблица 3.12

Результаты определения $t_{\text{пр.опт}}$ изделий ФС .

Наименование изделия	Влияние отказов изделий на безопасность полётов	Используемый метод определения $t_{\text{пр.опт}}$	Значение $t_{\text{пр.опт}}$, ч	Трудоёмкость операции ТО изделия при $t_{\text{пр.опт}}$
1	2	3	4	5
1				
2				
...				
n				

Примечание: в графе 2 указывается "да", "нет"; в графе 5 проставляются данные табл. 3.10 (графа 6).

3.4.2. Группировка операций технического обслуживания изделий в оптимальные формы регламента ФС

Задача группировки индивидуальной периодичности ТО изделий ($t_{\text{пр.опт}}$) в оптимальные формы регламента заключается в том, чтобы определить число форм ТО и периодичности их выполнения для ФС в целом.

Один из подходов к задаче группировки операций ТО изделий состоит в том, что оптимальный вариант регламента выбирается по критерию минимума трудозатрат на ТОиР ФС.

Исходной информацией для решения задачи являются результаты расчетов, выполненных в подразделе 3.4.1. и представленных в табл. 3.12.

Все операции ТО изделий ФС разделяются на две группы: операции, связанные с предотвращением появления опасных с точки зрения безопасности полетов отказов изделий (I группа); операции, связанные с обеспечением работоспособности изделий, случайные отказы которых не оказывают влияния на безопасность полетов (II группа).

К I группе относятся изделия, $t_{\text{пр.опт}}$ которых определяется по критериям $P(t_{\text{пп}}) \geq P_{\text{НОРМ.}}$ и $P_{H,\bar{O}}(t_{\text{пп}}) \rightarrow \max.$

Ко II группе относятся изделия, $t_{\text{пр.опт}}$ которых определяется по критерию $P(t_{\text{пп}}) \rightarrow \max.$

Схемы группировки операций ТО изделий в оптимальные формы регламента для каждой из групп представлены на рис. 3.10 и 3.11 соответственно.

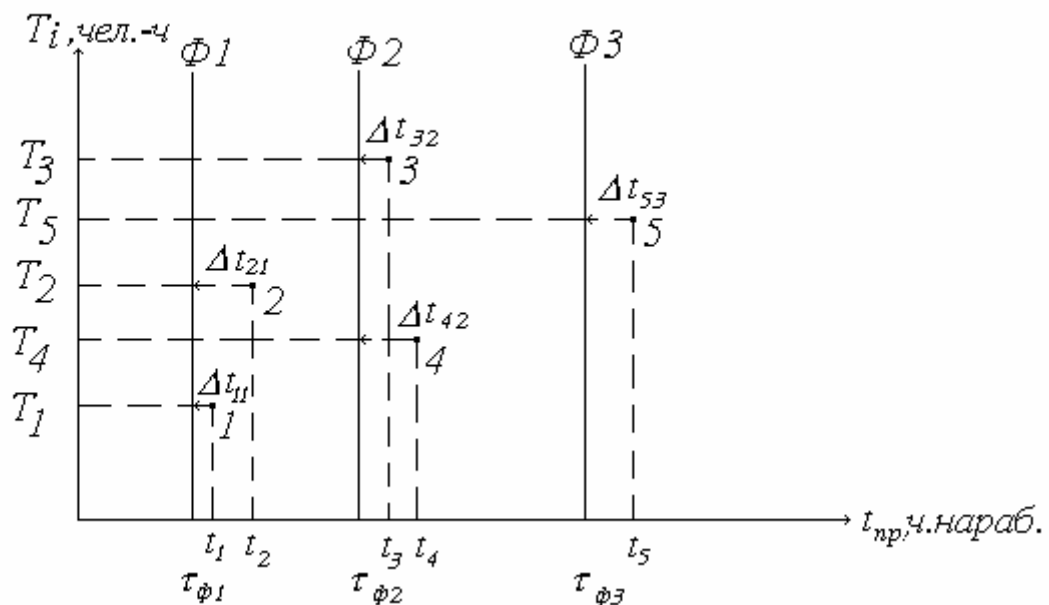


Рис. 3.10. Схема группировки операций ТО изделий в оптимальные формы регламента ФС (для изделий I группы).

На схеме в качестве примера условно представлены значения $t_{\text{пр.опт}}$ (t_1, t_2, \dots, t_5) для пяти изделий ФС, отказы которых влияют на безопасность полетов, и

трудоемкости операций ТО T_i (T_1, T_2, \dots, T_5). Цифрами 1, 2, ..., 5 обозначены номера изделий ФС. Операции ТО таких изделий связаны с предотвращением появления опасных отказов и должны выполняться с периодичностью, не превышающей $t_{\text{пр.опт}}$ ($t_i \leq t_{\text{пр.опт}}$) для каждого i -го изделия.

Рассмотрим случай группировки операций ТО изделий ФС с оптимальной для каждого из них периодичностью $t_{\text{пр.опт}}$ в заданные формы регламента для ЛА: Ф-1, Ф-2, Ф-3, выполняемых с периодичностью $\tau_{\Phi_1}, \tau_{\Phi_2}, \tau_{\Phi_3}$ соответственно. Значения периодичности даны в Приложении 4.

Для i -го изделия потеря по наработке при группировке операций составит Δt_i . Тогда убытки по трудоемкости ТО для всей группы таких изделий (группа I) составят:

$$\Delta T_I = \sum_{j=1}^k \sum_{i=1}^{n_I} \frac{T_i}{t_i} \cdot \Delta t_{ij}, \text{ [чел. ч]} \quad (3.15)$$

где i - порядковый номер изделия;

n_I - количество изделий в I-ой группе;

j - порядковый номер формы регламента ТО;

k - количество форм регламента.

Для рассматриваемого примера (рис. 3.10) имеем:

$$\Delta T_I = \frac{T_1}{t_1} \cdot \Delta t_{11} + \frac{T_2}{t_2} \cdot \Delta t_{21} + \frac{T_3}{t_3} \cdot \Delta t_{32} + \frac{T_4}{t_4} \cdot \Delta t_{42} + \frac{T_5}{t_5} \cdot \Delta t_{53}.$$

На рис. 3.11 представлены периодичности $t_{\text{пр.опт}}$ и трудоемкости T_i технического обслуживания 4-х изделий ФС, отказы которых не влияют на безопасность полетов (II группа). Для группировки операций ТО в заданные формы регламента ЛА (Ф-1, Ф-2, Ф-3) с периодичностью $\tau_{\Phi_1}, \tau_{\Phi_2}, \tau_{\Phi_3}$ используется критерий минимальных трудозатрат ($\min T_i$).

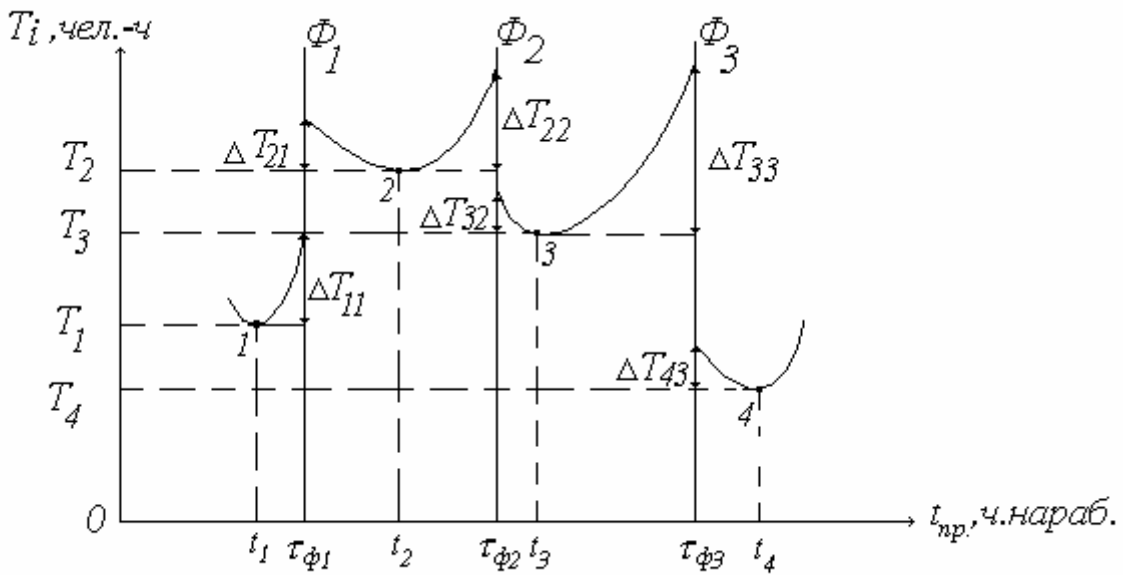


Рис. 3.11. Схема группировки операций ТО изделий в оптимальные формы регламента ФС (для изделий II группы)

Чтобы обеспечить выполнение критерия $\min \Delta T_i$ для каждого i -го изделия необходимо построить зависимость $T_i=f(t_{np})$, сравнить убытки по трудоемкости ТО i -го изделия при условии выполнения операций на одной из двух соседних форм регламента (ΔT_{ij}) и выбрать $\Delta T_{ij \ min}$. Зависимости $T_i=f(t_{np})$ для рассматриваемых изделий можно построить с использованием данных, приведенных в табл. 3.10 (графы 2 и 6) или с использованием формул 3.11 - 3.13.

Величины ΔT_{ij} вычисляются подстановкой $t_{np}=\tau_{\phi j}$ в расчетные формулы 3.11 - 3.13; $\tau_{\phi j}$ - периодичность выполнения j -ой формы регламента ЛА.

Убытки по трудоемкости ТО для всей группы таких изделий (группа II) рассчитываются по формуле:

$$\Delta T_{II} = \sum_{j=1}^k \sum_{i=1}^{n_{II}} \Delta T_{ij \ min} , \quad (3.16)$$

где $\Delta T_{ij \min}$ - минимальные убытки по трудоемкости ТО i-го изделия на j-ой форме регламента;

i - порядковый номер изделия;

n_{II} - количество изделий во II-ой группе;

j - порядковый номер формы регламента ТО;

k - количество форм регламента.

Для рассматриваемого примера (рис. 3.11) имеем:

для изделия 1: $\Delta T_{11 \ min} = \Delta T_{11}$;

для изделия 2: $\Delta T_{21} < \Delta T_{22}$; $\Delta T_{21 \ min} = \Delta T_{21}$;

для изделия 3: $\Delta T_{32} < \Delta T_{33}$; $\Delta T_{32 \ min} = \Delta T_{32}$;

для изделия 4: $\Delta T_{43 \ min} = \Delta T_{43}$.

Следовательно

$$\Delta T_{II} = \Delta T_{11} + \Delta T_{21} + \Delta T_{32} + \Delta T_{43} .$$

Оптимальный вариант регламента с учетом двух групп изделий выбирается по критерию

$$\Delta T = (\Delta T_I + \Delta T_{II})_{\min} , \quad (3.17)$$

В качестве основы для решения задачи группировки операций ТО изделий ФС в оптимальные формы регламента используются следующие варианты:

1) базовый, при котором для группировки принимается действующая периодичность форм регламента ЛА в соответствии с Приложением 4;

2) расчетный, при котором число форм регламента ФС и периодичность выполнения форм выбираются студентом самостоятельно на основе анализа материалов, полученных в подразделе 3.4.1, и в табл. 3.12.

Результаты расчетов для каждого варианта регламента по I и II группам изделий оформляются по форме табл. 3.13.

Таблица 3.13

Выбор оптимального регламента ФС .

Вариант регламента	Периодичность форм ТО ФС, ч.нар.			ΔT_I чел.-ч.	ΔT_{II} чел.-ч	ΔT чел.-ч
	$\tau_{\Phi 1}$	$\tau_{\Phi 2}$	$\tau_{\Phi 3}$			
1	2	3	4	5	6	7
Базовый						
Расчётный						

В результате оценки убытков по трудоемкости ТО (формула 3.17) при реализации базового и расчетного вариантов из них выбирается наилучший:

при $\Delta T_{баз} < \Delta T_{расч}$ -базовый ;

при $\Delta T_{баз} > \Delta T_{расч}$ - расчетный.

3.5. ПОСТРОЕНИЕ МОДЕЛИ ПРОЦЕССА ТЕХНИЧЕСКОЙ ЭКСПЛУАТАЦИИ ЛА И РАСЧЕТ ПОКАЗАТЕЛЕЙ ЕГО ЭФФЕКТИВНОСТИ.

Конечной целью курсовой работы является проектирование эффективного процесса технической эксплуатации (ПТЭ) ЛА в соответствии с заданными условиями эксплуатации (Приложение 7).

ПТЭ ЛА представляет собой последовательную во времени смену состояний эксплуатации: полет, техническое обслуживание, ремонт, ожидание технического обслуживания, доработки, готовность и др. Для оценки эффективности ПТЭ применяется совокупность показателей, представленных в табл. 3.14.

Таблица 3.14
Показатели эффективности ПТЭ ЛА.

Критерий эффективности ПТЭ	Показатели эффективности ПТЭ ЛА			
	обозначение	наименование	определение	единицы измерения
1	2	3	4	5
1.Регулярность вылетов ЛА	$P_{100 \text{ ТП}}$	Коэффициент регулярности вылетов	Отношение количества вылетов, выполненных без задержки по техническим причинам, к общему количеству вылетов за рассматриваемый период эксплуатации.	%
2.Использование ЛА	Kи Кир КВИР	Коэффициент использования ЛА по назначению. Коэффициент использования ЛА в рейсах. Коэффициент возможного использования ЛА в рейсах.	Отношение налёта парка самолётов к календарному фонду времени их эксплуатации за рассматриваемый период эксплуатации. Отношение налёта парка самолётов и их простоев в состояниях, связанных с обеспечением полётов, к календарному фонду времени эксплуатации за рассматриваемый период. Отношение налёта парка самолётов, их простоев в состояниях, связанных с обеспечением полётов, и простоев в исправном состоянии к календарному фонду времени эксплуатации за рассматриваемый период.	% % %
3.Исправность парка ЛА	K _п Kиспр	Удельные суммарные простои на ТОиР. Коэффициент исправности.	Отношение суммарных простоев на ТОиР к налёту парка ЛА за рассматриваемый период эксплуатации. Отношение фонда времени ЛА в исправном состоянии, включая полёты, к общему календарному фонду времени за рассматриваемый период.	ч/ч.нал. %
4.Экономичность ТОиР	K _т	Удельная суммарная трудоемкость ТОиР.	Отношение суммарной трудоёмкости ТОиР к налёту парка ЛА за рассматриваемый период эксплуатации.	чел.-ч/ ч.нал

Обеспечение эффективности проектируемого ПТЭ ЛА производится по схеме, представленной на рис. 3.12.

Оценка эффективности проектируемого ПТЭ конкретного типа ЛА производится сравнением рассчитанных показателей эффективности с их нормативными значениями. В случае, если расчетные значения показателей эффективности проектируемого ПТЭ превышают нормативные ($\Pi_{\text{НОРМ}} \leq \Pi_{\text{РАСЧ}}$) - цель достигнута, проектируемый ПТЭ действительно эффективен. В противном случае необходимо дополнительно разработать мероприятия, повышающие эффективность проектируемого ПТЭ, скорректировать его характеристики и заново рассчитать показатели. Задача считается выполненной при соблюдении условия $\Pi_{\text{НОРМ}} \leq \Pi_{\text{РАСЧ}}$.

3.5.1. Построение модели процесса технической эксплуатации ЛА.

Для оценки эффективности технической эксплуатации используется полумарковская модель ПТЭ. Состояния ПТЭ и последовательность переходов ЛА из состояния в состояние иллюстрируется графиком. На рис. 3.13. представлен примерный график состояний и переходов ПТЭ ЛА. Перечень возможных состояний и их границы определены Инструкцией по почасовому учету исправности и использования самолетов (табл. 3.15). При построении модели проектируемого ПТЭ ЛА используются: примерный график (рис. 3.13); перечень возможных состояний ПТЭ ЛА (табл. 3.15); заданные условия эксплуатации парка ЛА (приложение 7), а также данные, полученные в предыдущих разделах курсовой работы.

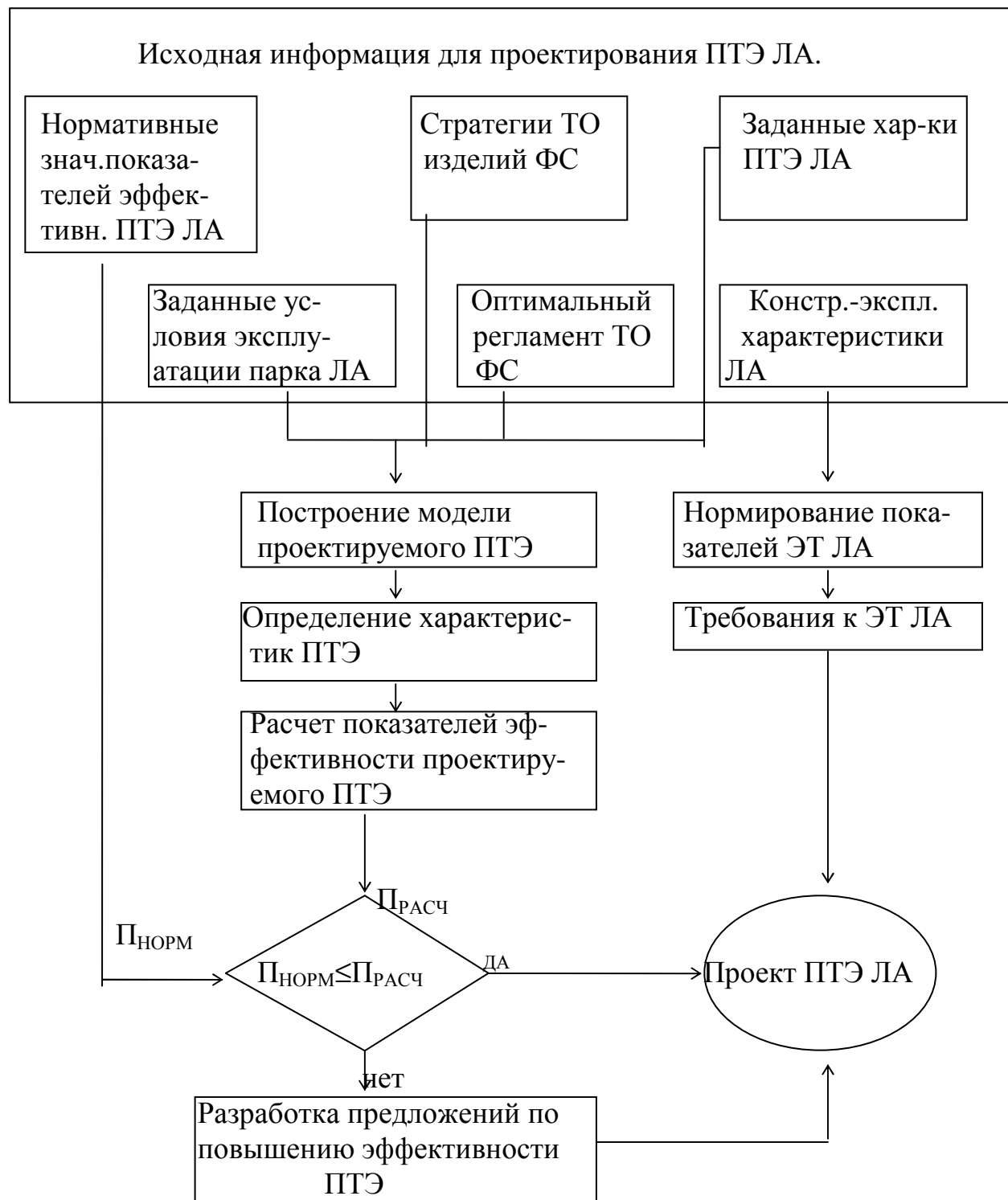


Рис. 3.12. Блок-схема обеспечения эффективности проектируемого ПТЭ ЛА.

Таблица 3.15.

Перечень возможных состояний ПТЭ ЛА.

Шифр состояния	Наименование состояния	Границы состояния	
		начало	конец
1	2	3	4
П	Использование по назначению (полёт)	взлёт	посадка
Е	Подготовка к полёту(Ф-А)	начало Ф-А	окончание Ф-А
Г	Неиспользованное время (готовность)	готовность	взлёт
А	В резерве	назначение в резерв	снятие из резерва
О _Б	Ожидание Ф-Б	посадка	начало Ф-Б
Т _Б	Обслуживание по Ф-Б	начало Ф-Б	окончание Ф-Б
О _{ПФ}	Ожидание периодического ТО	посадка	начало периодического ТО
Т _{П(Ф1)}	Периодическое ТО (Ф1)	начало Ф1	окончание Ф1
Т _{П(Ф2)}	Периодическое ТО (Ф2)	начало Ф2	окончание Ф2
Т _{П(Ф3)}	Периодическое ТО (Ф3)	начало Ф3	окончание Ф3
У	Устранение неисправностей	окончание ТО	дата готовности
О _Р	Ожидание отправки в ремонт	начало ожидания отправки в ремонт	отправка в ремонт
Р	Ремонт	отправка в ремонт	прибытие после ремонта
З	Отсутствие запчастей	окончание ТО	дата готовности
Дв	Ожидание поступления двигателей	окончание ТО	дата готовности
Д	Доработки по бюллетеням	начало доработок	окончание доработок
Ж	Рекламации промышленности	обнаружение неисправности	устранение неисправности
З _В	Задержка вылета	начало задержки	окончание задержки

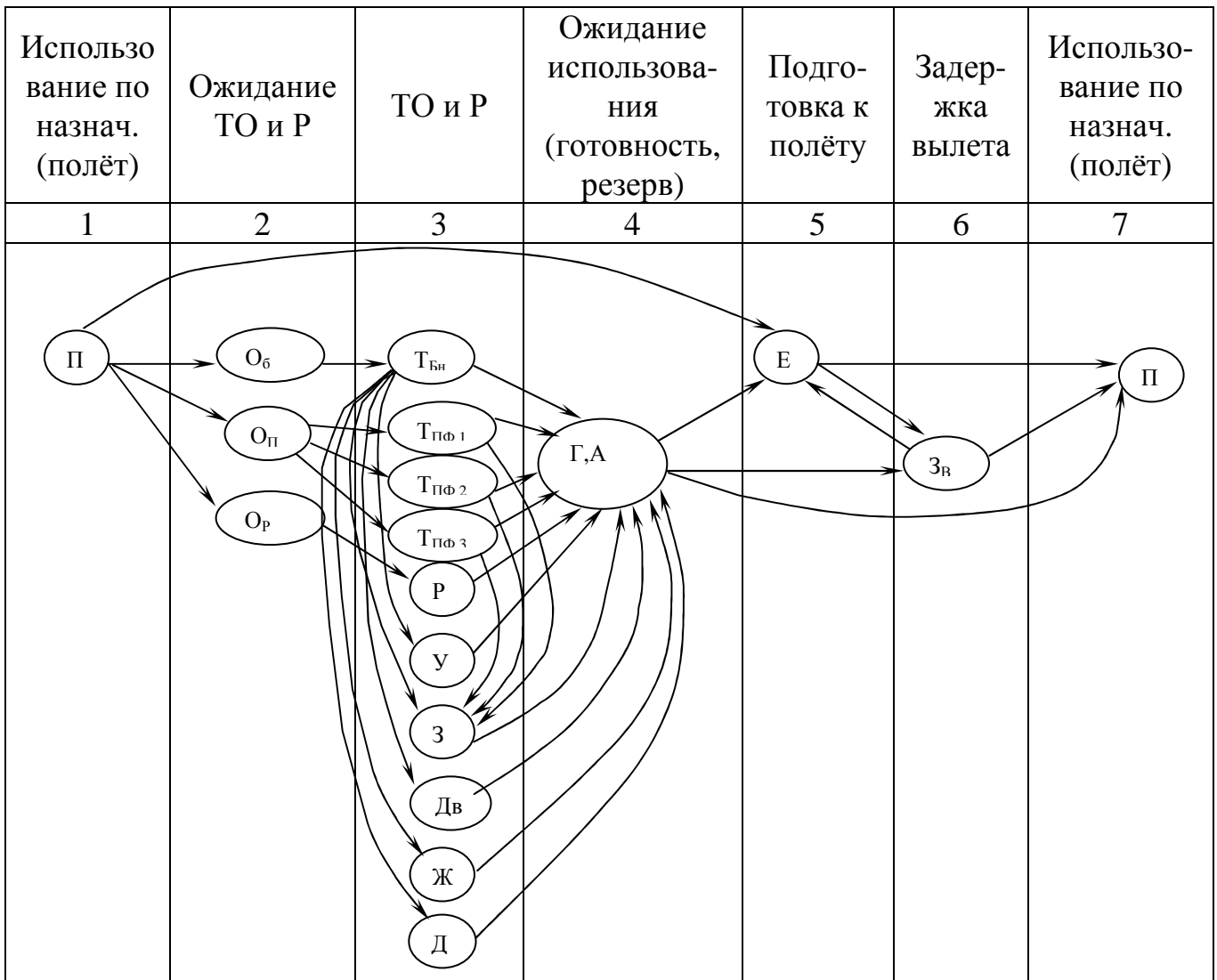


Рис. 3.13. Примерный график состояний и переходов ПТЭ ЛА.

Обозначения состояний по табл. 3.15.

Основными характеристиками модели являются: количество состояний проектируемого ПТЭ - N ; количество попаданий ЛА в каждое из состояний - n_i ; относительная частота попаданий в состояние - π_i ; среднее время пребывания в состоянии - μ_i ; средние трудозатраты в состояниях ТО и Р - τ_i .

Характеристики модели проектируемого ПТЭ: n_i , π_i , μ_i , τ_i , а также $\pi_i \cdot \mu_i$, $\pi_i \cdot \tau_i$ определяются для каждого из состояний N ($1, 2, \dots, i, \dots, N$) за рассматриваемый

период эксплуатации (1 год) всего парка ЛА с учетом условий их эксплуатации, заданных в Приложении 7.

Определение характеристик модели осуществляется с использованием данных табл. 3.16.

Последовательно определяются характеристики: n_i - по формулам табл. 3.16;

$$\pi_i = \frac{n_i}{\sum_{i=1}^N n_i}; \quad \mu_i = \frac{t_i}{n_i}; \quad \tau_i \text{ (из приложения 8, 9)}; \quad \pi_i \cdot \mu_i; \quad \pi_i \cdot \tau_i.$$

Таблица 3.16

Формирование характеристик проектируемого ПТЭ ЛА .

Характеристика			Способ определения формула	Примечание
N п/п	Наименование	Обознач.		
1	2	3	4	5
1	Количество состояний ПТЭ	N	Определяется по количеству состояний графа проектируемого ПТЭ с учётом заданных условий эксплуатации(номер варианта).	Заданные условия эксплуатации парка ЛА за 1 год эксплуатации (приложение 7)

Продолжение табл. 3.16

Характеристика			Способ определения формула	Примечание
N п/п	Наименование	Обознач.		
1	2	3	4	5
2	Кол-во попаданий состояния	n _i	$n_{\Pi} = \frac{T_{GCC} \cdot N_{oA}}{\bar{t}_{з,п}}$ $n_E = 1,1 \cdot n_{\Pi}$ $n_{TB} = \frac{365}{\tau_B} \cdot N_{LA} - (n_{\phi 1} + n_{\phi 2} + n_{\phi 3})$ $n_{OB} = n_{TB}$ $n_{\phi 1} = \frac{T_{GCC} \cdot N_{LA}}{\tau_{\phi 1}} - (n_{\phi 2} + n_{\phi 3} + n_p)$ $n_{\phi 2} = \frac{T_{GCC} \cdot N_{LA}}{\tau_{\phi 2}} - (n_{\phi 3} + n_p)$ $n_{\phi 3} = \frac{T_{GCC} \cdot N_{LA}}{\tau_{\phi 3}} - n_p$ $n_p = \frac{T_{GCC} \cdot N_{LA}}{T_{PEC.C}}$ $n_{OP} = n_p$ $n_{\Pi\Phi} = n_{\phi 1} + n_{\phi 2} + n_{\phi 3}$ $n_{\text{опф}} = n_{\Pi\Phi}$ $n_y = 0,05 \cdot n_n,$ $n_3 = 0,15 \cdot n_{\Pi\Phi},$ $n_d = 0,1 \cdot n_{\Pi\Phi},$ $n_{ж} = 0,03 \cdot n_{\Pi\Phi}$ $n_{3B} = 0,05 \cdot n_{\Pi},$ $n_A = 0,1 \cdot n_{\Pi}$ $n_{\Gamma} = 0,15 \cdot n_{\Pi},$ $n_{ДВ} = 0,05 \cdot n_{\Pi\Phi}$	<p>T_{GCC} – средний годовой налёт на списочный ЛА (приложение 4)</p> <p>N_{LA} – заданный объём парка ЛА (приложение 11)</p> <p>$\bar{t}_{БП}$ - средняя длительность беспосадочного полёта (приложение 4)</p> <p>τ_B – периодичность выполнения формы Б в сутках (приложение 4)</p> <p>$\tau_{\phi 1}, \tau_{\phi 2}, \tau_{\phi 3}$ – периодичность выполнения Ф1, Ф2, Ф3, рассчитанная для оптимального регламента (табл. 3.13). Данную периодичность условно можно принять и для ЛА в целом.</p> <p>n_{ПФ} – общее число попаданий ЛА на периодические формы ТО.</p>
3	Относительная частота попадания состояния	π_i	$\pi_i = \frac{n_i}{\sum_{i=1}^N n_i}$	

Продолжение табл. 3.16

Характеристика			Способ определения формула	Примечание
N п/п	Наименование	Обознач.		
1	2	3	4	5
4	Среднее время пребывания в состоянии, час.	μ_i	$\mu_i = \frac{t_i}{n_i}$ $\mu_{\text{п}} = \bar{t}_{\text{б.п}}$	t_i -суммарное время пребывания парка ЛА в i-ом состоянии(приложение 8).*)
5	Средние трудозатраты в состоянии ТОиР, чел.-ч	τ_i	Значения τ_i определяются по приложению 9.	

*) Примечание. Перед тем, как определять μ_i по состояниям, необходимо

проверить условие: $\sum_{i=1}^N t_i = 8760 \cdot N_{LA}$. При $\sum_{i=1}^N t_i < 8760 \cdot N_{LA}$ не достающий объём часов следует добавить к состоянию А.

Сформированные характеристики состояний ПТЭ ЛА должны быть представлены по форме табл. 3.17.

Таблица 3.17

Характеристики проектируемого ПТЭ ЛА.

Состояния	n_i	π_i	t_i	μ_i	τ_i	$\pi_i \cdot \mu_i$	$\pi_i \cdot \tau_i$
1	2	3	4	5	6	7	8
П							
Е							
...							

3.5.2. Расчет показателей и оценка уровня эффективности проектируемого ПТЭ ЛА.

Расчет показателей эффективности ПТЭ ЛА выполняется по формулам табл. 3.18. Рассчитываются показатели эффективности проектируемого ПТЭ на основании разработанной модели и сформированных характеристик (табл. 3.17). Состояния, которые в проектируемом ПТЭ отсутствуют согласно заданному варианту (Приложение 7), в расчете показателей не учитываются.

Таблица 3.18

Расчетные формулы для определения показателей.

Показатель	Расчётная формула	Примечание
1	2	3
$P_{100\text{ TP}}$	$P_{100\text{ TP}} = \left(1 - \frac{n_{3B}}{n_{\Pi}}\right) \cdot 100\%$	n_{3B}, n_{Π} -количество попаданий в состояния З _B и П.
K_i	$K_i = \frac{\pi_n \cdot \mu_n}{\sum_{i=1}^N \pi_i \cdot \mu_i}$	π_i, μ_i -характеристики i-го состояния ПТЭ. π_n, μ_n -характеристики состояния П.
K_{iP}	$K_{iP} = \frac{\pi_n \cdot \mu_n + \sum_j \pi_j \cdot \mu_j}{\sum_{i=1}^N \pi_i \cdot \mu_i}$	π_j, μ_j -характеристики состояний: Е, О _Б , Т _Б , З _B .
K_{ViP}	$K_{ViP} = \frac{\pi_n \cdot \mu_n + \sum_j \pi_j \cdot \mu_j}{\sum_{i=1}^N \pi_i \cdot \mu_i}$	π_j, μ_j -характеристики состояний: Е, О _Б , Т _Б , З _B , А, Г.
K_{Pi}	$K_{Pi} = \frac{\sum_j \pi_j \cdot \mu_j}{\pi_n \cdot \mu_n}, \left[\frac{\chi}{\text{ч.нал}} \right]$	π_j, μ_j -характеристики состояний: О _П , О _P , Ф1, Ф2, Ф3, У, Р, З, Д, Ж.
K_{iSPR}	$K_{iSPR} = \frac{\sum_{i=1}^N \pi_i \cdot \mu_i - \sum_j \pi_j \cdot \mu_j}{\sum_{i=1}^N \pi_i \cdot \mu_i}$	π_j, μ_j -характеристики состояний: О _П , О _P , Ф1, Ф2, Ф3, У, Р, З, Д, Ж, Дв
K_T	$K_T = \frac{\sum_j \pi_j \cdot \tau_j}{\pi_n \cdot \mu_n}, \left[\frac{\text{чел.} - \chi}{\text{ч.нал}} \right]$	π_j, τ_j -характеристики состояний :Е, Т _Б , Ф1, Ф2, Ф3, Р, У, Д.

3.5.3. Разработка предложений по совершенствованию процесса ТО и улучшению эксплуатационной технологичности ЛА

В качестве основы для разработки предложений принимаются полученные характеристики проектируемого ПТЭ (табл. 3.16). Среди всех состояний ПТЭ, кроме состояния использования по назначению "П" выделяются состояния с наибольшими значениями характеристик $\pi_i \cdot \mu_i$ и $\pi_i \cdot \tau_i$ (доминирующие состояния).

Предложения по совершенствованию ПТЭ должны быть разработаны с учетом результатов, полученных в предыдущих разделах курсовой работы, и направлены на уменьшение количества попаданий ЛА в выделенные доминирующие состояния ПТЭ, а также на сокращение времени пребывания и трудовых затрат в этих состояниях.

Предложения разрабатываются в двух направлениях: а) в направлении совершенствования процессов технического обслуживания ЛА; б) в направлении улучшения эксплуатационной технологичности конструкции ЛА.

Выполняется сравнение полученных в разделе 3.2. фактических значений обобщенных показателей ЭТ $K_{оп}$ и $K_{от}$ с нормативными значениями этих показателей для ЛА подобного класса.

Для определения нормативных значений показателей $K_{оп}$ и $K_{от}$ используется номограммы (Приложение 11), полученные при исследовании большого объема наблюдений за эксплуатацией парка ЛА различных типов. Исходные данные, необходимые для решения этой задачи, приведены в соответствующих приложениях.

Так, исходными данными для определения нормативного значения показателя $K_{оп}$ для интересующего типа ЛА являются:

$T_{ГСС}$ - средний годовой налет на списочный самолет (Приложение 4);

K_{CEZ} - коэффициент сезонности (Приложение 11);

η_1 - статистический коэффициент (Приложение 11).

С помощью номограмм (Приложение 11, рис. П11.1 и П11.2) определяются нормативные значения показателей:

$K_{OP.O}$ - для оперативного цикла эксплуатации;

$K_{OP.P}$ - для цикла восстановления.

В сумме значения этих показателей дадут нормативное значение искомого показателя K_{OP} - удельной суммарной оперативной продолжительности ТОиР ЛА.

Исходными данными для определения нормативного значения показателя K_{OT} для интересующего типа ЛА являются:

m_0 - масса конструкции ЛА (Приложение 11);

\bar{t}_{BP} - длительность беспосадочного полета (Приложение 4);

η_2 - статистический коэффициент (Приложение 11).

С помощью номограмм (Приложение 11, рис. П11.3 и П11.4) определяются нормативные значения показателей: $K_{OT.O}$ - для оперативного цикла эксплуатации и $K_{OT.P}$ - для цикла восстановления. В сумме значения этих двух показателей составят нормативное значение искомого показателя K_{OT} - удельной суммарной оперативной трудоемкости ТОиР ЛА.

Данные о показателях K_{OP} и K_{OT} сводятся в табл. 3.20.

Таблица 3.20

Значения показателей K_{OP} и K_{OT} .

Показатель	K_{OP}	K_{OT}
Фактические значения		
Нормативные значения		

В случае существенных ($> 10\%$) отклонений фактических значений показателей от нормативных разрабатываются предложения по улучшению эксплуатационной технологичности ЛА. При разработке предложений следует использовать материалы, содержащиеся в главе 7 учебного пособия [3].

Работа над курсовой работой заканчивается изложением "Выводов".

ЛИТЕРАТУРА.

1. Техническая эксплуатация летательных аппаратов. Учебник для вузов.
Под ред. Н.Н.Смирнова.-М.:Транспорт,1990.
2. Смирнов Н.Н. Научные основы построения системы технического обслуживания и ремонта самолётов ГА.-М.:МГТУГА,1994.
3. Смирнов Н.Н., Чинючин Ю.М. Эксплуатационная технологичность летательных аппаратов.-М.:Транспорт,1994.
4. Смирнов Н.Н. Основы теории технической эксплуатации летательных аппаратов. Части 1 и 2. – МГТУ ГА, 2001, 2003.
5. Эксплуатационная надёжность и режимы технического обслуживания самолётов/ Н.Н. Смирнов, А.М. Андронов, Н.И. Владимиров, Ю.И. Лемин. М.:Транспорт,1974.
6. Смирнов Н.Н., Ицкович А.А., Чинючин Ю.М. Надёжность и эксплуатационная технологичность летательных аппаратов.-М.:МИИГА,1989.
7. Дергач О.Я. Формирование систем технического обслуживания самолётов при их создании.-М.:Машиностроение,1994.
8. Смирнов Н.Н., Ицкович А.А. Обслуживание и ремонт авиационной техники по состоянию.-2-е изд.-М.:Транспорт,1987.

Приложение 1.

Московский государственный технический университет
гражданской авиации
Кафедра технической эксплуатации ЛА и АД

Техническое задание
на курсовую работу по дисциплине
“Основы теории эксплуатации АТ”
студенту _____, группы_____

I. Задачи, подлежащие решению:

1. Определение показателей безотказности функциональной системы (подсистемы) ЛА.
2. Определение показателей эксплуатационной технологичности ЛА.
3. Выбор рациональных стратегий ТОиР изделий функциональной системы.
4. Формирование оптимального регламента ТО ЛА (на примере функциональной системы).
5. Построение модели процесса технической эксплуатации ЛА и расчёт показателей его эффективности.

II. Тип ЛА

Функциональная система(подсистема):_____

Изделия ФС:_____

Условия эксплуатации: № варианта_____

III. Литература: Пособие по выполнению КР по дисциплине
“ОТЭАТ”, М., РИО МГТУГА, 2004.

Начало работы над КР-февраль, окончание - ноябрь 200... г.

Руководитель: _____
(должность) _____
(подпись) _____
Ф.И.О. _____

Студент: _____
(подпись) _____
Ф.И.О. _____

“ “ _____ 200...г.

Приложение 2.

Московский государственный технический университет
гражданской авиации

Кафедра технической эксплуатации ЛА и АД

“Проверен”
Руководитель КП

(степень, звание, Ф.И.О.)

(подпись, дата)

“Защищён”
с оценкой _____

Комиссия: _____

(подпись) (Ф.И.О.)

(подпись) (Ф.И.О.)
“ “ _____ 200... г.

КУРСОВАЯ РАБОТА
по дисциплине “Основы теории эксплуатации АТ”
на тему

“Проектирование эффективного процесса
технической эксплуатации _____”
(тип ЛА)

(шифр КП)

Курсовую работу выполнил
студент _____

Ф.И.О.

группа _____

(подпись) _____
(дата)

Москва 200... г.

Приложение 3

Данные о надежности, действующей периодичности ТО изделий,
трудоемкости обслуживания и устранения неисправностей.

Наименование Ф.С. и изде- лий	Параметр по- тока отказов $\omega_0(t)$	Параметр по- тока неис- правностей $\omega_h(t)$	Среднее время устранения неисправно- стей $t_y, ч$	Действующая периодич- ность ТО из- делия $\tau_{пр}, ч$	Средняя трудоемкость, чел.- ч.	
					Технического обслуживания \bar{T}_{TO}	Устранения неисправно- стей T_p
1	2	3	4	5	6	7
1. Гидравлическая система						
Клапан обрат- ный	$0,7 \cdot 10^{-5}$	–	0,5	900	0,15	1,0
Гидронасос	$0,3 \cdot 10^{-5}$	$5,2 \cdot 10^{-4}$	0,6	300	0,15	0,8
Гидроаккуму- лятор	$0,2 \cdot 10^{-4}$	–	0,8	900	0,4	1,1
Клапан пре- дохранитель- ный	$4,1 \cdot 10^{-4}$	–	0,6	300	0,2	1,1
Гидроцилиндр	$0,5 \cdot 10^{-5}$	–	0,8	900	0,3	1,2
Кран электро- магнитный	$6,8 \cdot 10^{-4}$	–	0,5	300	0,15	1,3
Фильтр	$4,5 \cdot 10^{-4}$	$1,2 \cdot 10^{-3}$	0,3	300	0,4	0,6
Клапан чел- ночный	$0,8 \cdot 10^{-6}$	–	0,6	900	0,2	1,1
Реле давления	$1,2 \cdot 10^{-5}$	–	0,4	300	0,15	0,7
Гидробак	$2,5 \cdot 10^{-6}$	–	1,1	900	0,3	1,0

Продолжение табл. 3

1	2	3	4	5	6	7
2. Топливная система						
Расходный топливный бак	$1,2 \cdot 10^{-6}$	–	1,7	900	0,5	2,3
Перекрывающей клапан	$2,3 \cdot 10^{-5}$	–	0,4	300	0,2	1,2
Фильтр	$0,2 \cdot 10^{-5}$	$0,7 \cdot 10^{-3}$	0,3	300	0,4	0,8
Расходомер	$0,7 \cdot 10^{-4}$	–	0,5	300	0,3	0,9
Подкачивающий насос	$2,4 \cdot 10^{-5}$	$3,1 \cdot 10^{-3}$	1,2	900	0,15	1,2
Автомат дозировки топлива	$3,7 \cdot 10^{-5}$	–	0,6	300	0,4	1,1
Насос аварийного слива	$4,2 \cdot 10^{-4}$	$2,8 \cdot 10^{-3}$	0,4	900	0,3	1,3
Перекачивающий насос	$2,5 \cdot 10^{-5}$	$1,3 \cdot 10^{-3}$	0,5	900	0,2	1,2
Предохранительный клапан	$3,6 \cdot 10^{-6}$	–	0,4	300	0,3	1,2
Топливный аккумулятор	$2,3 \cdot 10^{-5}$	–	0,8	900	0,4	1,4

Продолжение табл. 3

1	2	3	4	5	6	7
3. Система кондиционирования воздуха						
Воздухо-воздушный радиатор	$1,3 \cdot 10^{-5}$	$2,3 \cdot 10^{-4}$	0,9	900	0,4	2,0
Турбохолодильник	$2,3 \cdot 10^{-5}$	—	0,9	300	0,5	1,2
Обратный клапан	$2,7 \cdot 10^{-6}$	—	0,3	900	0,2	1,1
Заслонка регулирующая	$3,2 \cdot 10^{-4}$	—	1,2	300	0,25	1,1
Регулятор давления	$0,3 \cdot 10^{-4}$	—	0,9	900	0,15	0,9
Распределительный кран	$6,8 \cdot 10^{-5}$	—	0,4	900	0,2	1,2
Фильтр	$4,5 \cdot 10^{-5}$	$2,3 \cdot 10^{-3}$	0,3	300	0,4	0,8
Запорный кран	$2,3 \cdot 10^{-5}$	—	0,6	900	0,3	0,9
Эжектор	$0,8 \cdot 10^{-4}$	—	1,1	300	0,3	1,1
Воздухозаборник	$0,5 \cdot 10^{-5}$	—	1,2	900	0,2	1,2

Продолжение табл. 3

1	2	3	4	5	6	7
4. Система регулирования давления						
Электрокла- пан переклю- чения	$2,3 \cdot 10^{-4}$	–	0,9	300	0,5	1,4
Регулятор из- быточного давления	$0,3 \cdot 10^{-5}$	–	0,9	300	0,4	1,2
Фильтр	$4,5 \cdot 10^{-5}$	$2,3 \cdot 10^{-3}$	0,3	300	0,4	0,9
Клапан выpus- скной	$0,8 \cdot 10^{-5}$	–	0,3	900	0,3	1,2
Предохраните- льный кла- пан	$0,9 \cdot 10^{-4}$	–	0,4	900	0,2	1,3
Командный прибор	$1,2 \cdot 10^{-4}$	–	1,2	300	0,5	1,7
Сигнализатор давления	$1,1 \cdot 10^{-4}$	–	0,5	300	0,3	0,9
Челночный клапан	$0,8 \cdot 10^{-4}$	–	0,8	900	0,2	1,2
Обратный клапан	$2,7 \cdot 10^{-5}$	–	0,6	900	0,2	1,2
Кран разгер- метизации ка- бины	$3,3 \cdot 10^{-4}$	–	0,7	300	0,3	1,3

Приложение 4.

Исходные данные для определения обобщённых показателей ЭТ ЛА.

Тип самолёта	Тип двигателя	Ресурс до ремонта самолёта $T_{PEC,C}$, ч	Ресурс до ремонта двигателя $T_{PEC,d}$, ч	Действующая периодичность ТО , ч.налёта				Средняя длительн. беспосадочного полёта, $\bar{t}_{БП}$, ч	Коэффиц. досрочных замен двигателей, k_d	Средний годовой налёт самолёта, T_{GCC} , ч
				$\tau_{\phi 1}$	$\tau_{\phi 2}$	$\tau_{\phi 3}$	$\tau_{\phi B}$ сут.			
1	2	3	4	5	6	7	8	9	10	11
Ту-134	Д-30	6000	3500	300	900	1800	7	1,5	0,06	1800
Ту-154М	Д-30КУ-154	10000	5000	600	1200	2400	10	2,2	0,06	2100
Як-40	АИ-25	6000	5000	300	900	1880	7	1,1	0,04	1600
Як-42	Д-36	12000	6000	300	900	1800	7	2,0	0,05	2000
Ил-62М	Д-30КУ	10000	5000	300	900	1800	10	4,5	0,06	2500
Ил-86	НК-86	12000	3500	300	900	1800	15	3,2	0,07	1600
Ан-24	АИ-24	5000	5000	300	900	1800	7	1,0	0,04	1400

Приложение 5.

Данные об оперативной продолжительности ТОиР ЛА.

Тип самолёта	Оперативная продолжительность ТОиР,часы							Коэффиц. несовпадения замен двигателей с периодич. формами,β	Время стоянки в транзитных а/п, $\bar{t}_{CT.M}$,ч.
	t_A	t_B	$t_{\Phi 1}$	$t_{\Phi 2}$	$t_{\Phi 3}$	Замена двигателя, t_{CM}	Ремонт самолёта, $t_{REM.C}$		
1	2	3	4	5	6	7	8	9	10
Ту-134	1,2	6,4	15,0	32,0	65,0	12,0	700,0	0,6	0,5
Ту-154М	1,4	9,4	31,0	49,0	85,0	16,5	960,0	0,5	0,75
Як-40	1,1	6,0	14,0	32,0	65,0	12,5	710,0	0,4	0,5
Як-42	1,3	9,0	31,0	65,0	90,0	16,8	690,0	0,5	0,75
Ан-24	1,0	5,6	16,0	30,0	50,0	12,0	700,0	0,4	0,5
Ил- 62М	2,1	12,0	33,0	68,0	105,0	16,6	1150,0	0,5	1,0
Ил-86	2,3	13,3	45,0	104,0	160,0	24,5	1510,0	0,45	0,75

Приложение 6.

Данные об оперативной трудоёмкости ТО и Р ЛА.

Тип самолёта	Оперативная трудоёмкость ТО и Р ЛА, чел.-ч							
	T _A	T _B	T _{Ф1}	T _{Ф2}	T _{Ф3}	Замена двигате- ля, T _{СМ}	Ремонт самолё- та, T _{РЕМ.С}	Ремонт двига- теля, T _{РЕМ.Д}
1	2	3	4	5	6	7	8	9
Ту-134	4,3	13,0	210	350	510	36	18100	2400
Ту-154М	6,0	16,0	300	510	750	54	37800	3500
Як-40	3,1	9,5	93	150	270	36	17900	810
Як-42	6,9	19,0	280	510	790	54	35200	2600
Ан-24	3,5	8,0	150	230	340	36	15300	1100
Ил- 62М	10,5	17,0	410	690	1050	54	45200	3500
Ил-86	14,0	40,0	500	910	2500	86	53400	5500

Приложение 7.

Варианты по условиям эксплуатации парка ЛА для проектируемого ПТЭ.

Вариант	Заданные условия эксплуатации	Обозн. состояния
1	2	3
1	Отсутствуют задержки вылетов по техническим причинам	З _В
2	Формы периодического ТО выполняются без ожидания	О _П
3	Ремонт выполняется без ожидания. Не будет простоев из-за отсутствия двигателей	О _Р Д _В
4	Не будет простоев из-за отсутствия запасных частей	З
5	Не будет задержек вылетов	З _В
6	Отсутствуют простои самолётов в резерве. Не будет ожидания форм периодического обслуживания	А О _П
7	Отсутствуют простои из-за рекламаций промышленности	Ж
8	Отсутствуют простои в ожидании формы Б	О _Б
9	Не будет простоев из-за отсутствия двигателей	Д _В
10	Отсутствуют простои при выполнении доработок	Д
11	Ремонт выполняется без ожидания.	О _Р
12	Не будет простоев в ожидании формы Б.	О _Б
13	Не будет простоев из-за отсутствия запасных частей	З
14	Не проводились доработки по бюллетеням.	Д
15	Не будет задержек вылетов по техническим причинам	З _В

Приложение 8.

Суммарное время пребывания парка самолётов за 1 год эксплуатации в состояниях ПТЭ (t_i , час).

Состояния ПТЭ (шифр)	Типы ЛА						
	Tу-154	Tу-134	Як-40	Як-42	Ан-24	Ил-62	Ил-86
1	2	3	4	5	6	7	8
П	33600	18000	19200	20000	16800	35000	12800
Е	30240	21120	26182	18700	24024	14544	13200
Г	13200	10900	12580	6850	12500	5551	3800
А	6550	6600	8470	4200	7586	3834	2900
О _Б	1250	1100	1510	1065	1780	1810	889
Т _Б	6700	4800	6000	6460	5400	6957	2958
Опф	2300	750	1050	1167	680	2305	1200
Т(Ф1)	3100	1400	1780	1793	1650	4775	2540
Т(Ф2)	2300	810	1260	1500	850	2627	1222
Т(Ф3)	3700	900	1570	1825	750	3888	1980
У	2700	2900	4870	2080	5500	1995	1080
О _Р	1350	1800	2290	884	2950	1260	627
Р	6800	5500	6470	2920	6650	7748	3363
З	11700	3400	2770	7865	7500	13902	9670
Дв	5600	1650	1448	3790	3450	5680	4906
Д	5570	2900	2890	3787	2050	6988	4826
Ж	1300	670	680	864	450	2190	1275
З _В	2200	2400	4100	1850	4550	1586	844
8760 x N_c	140160	87600	105120	87600	105120	122640	70080

Приложение 9.

Данные о трудоёмкости ТО и Р ЛА τ в состояниях ПТЭ.

Состояния ПТЭ	Наименование состояния	Средние значения трудоёмкости ТО и Р, чел.-ч.						
		Ту-134	Ту-154	Як-40	Як-42	Ан-24	Ил-62	Ил-86
E	Форма А	6,5	8,6	4,7	10,0	5,2	14,5	20,0
T _B	Форма Б	18	22	14	33	12	29	64
T _{Ф1}	Форма 1	320	460	130	395	213	600	760
T _{Ф2}	Форма 2	517	710	220	520	285	800	1010
T _{Ф3}	Форма 3	730	1070	380	1260	470	1490	3930
P	Ремонт(КВР)	26260	52130	25860	48500	22530	65600	78700
У	Устранение неис- правностей	11,6	14,5	13,8	21,0	18,0	24,5	34,0
Д	Доработки по бюл- летеням	160	180	140	210	130	210	320

Приложение 10.

Нормативные значения показателей эффективности ПТЭ ЛА.

Показатели	$P_{100\text{TP}}$	K_I	K_{IR}	K_{VIR}	K_P	K_{ISPR}	K_T
Тип ЛА							
Ту-134	0,96	0,29	0,67	0,80	0,8	0,8	10
Ту-154	0,95	0,29	0,62	0,75	0,9	0,7	8
Як-40	0,96	0,25	0,68	0,80	0,7	0,8	6
Як-42	0,96	0,28	0,65	0,75	0,8	0,7	10
Ан-24	0,97	0,26	0,65	0,80	0,6	0,8	8
Ил-62	0,95	0,29	0,60	0,65	1,1	0,7	10
Ил-86	0,95	0,29	0,65	0,75	0,9	0,7	18

Приложение 11.

Исходные данные для проектирования ПТЭ ЛА.

Табл.П.11.1.

Тип самолёта	Масса конструкции самолёта $m_0, \text{тн}$	$N_{\text{ЛА}}$	Средний годовой налёт $T_{\text{ГСС}}, \text{ч.}$	Время плановой стоянки в транзитных а/п $\bar{t}_{\text{ст.м}}, \text{ч}$	Коэффициент сезонности перевозок $K_{\text{сез}}$	Статистические коэффициенты	
						η_1	η_2
1	2	3	4	5	6	7	8
Ту-134	29	10	1800	0,5	1,7	0,74	0,81
Ту-154М	53	16	2100	0,75	1,6	0,68	0,77
Як-40	10,5	12	1600	0,5	1,8	0,65	0,75
Як-42	32	10	2000	0,75	1,9	0,72	0,80
Ан-24	14	12	1400	0,5	1,4	0,69	0,76
Ил-62М	70	14	2500	1,0	1,2	0,71	0,78
Ил-86	115	8	1600	0,75	1,5	0,67	0,75